

Université de Liège
Faculté des Sciences
Département de Géologie
Laboratoire de Minéralogie



Les phosphates de fer et de manganèse : comment les étudier, et à quoi peuvent-ils bien servir ?

Prof. Frédéric Hatert

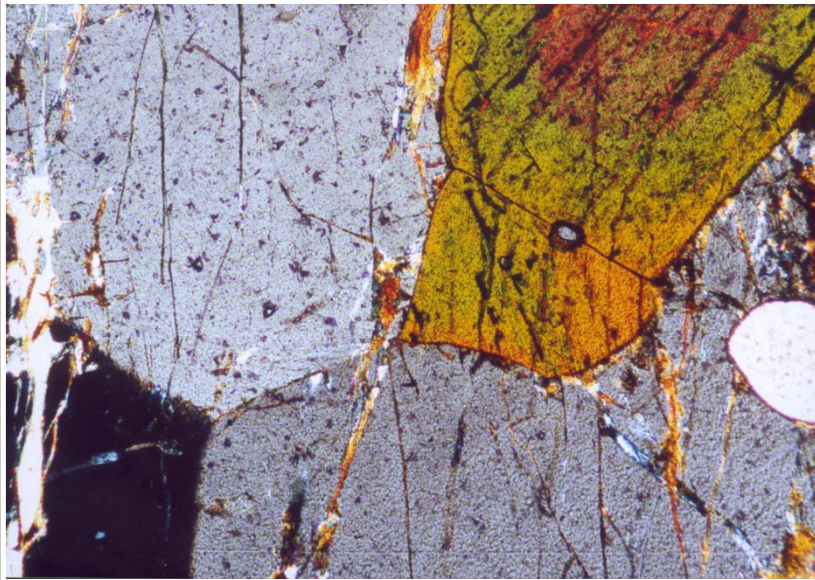
Chênée, le 7 décembre 2018

Plan de l'exposé

1. Introduction: triphylite et alluaudite
2. Observations de terrain: les pegmatites
3. Pétrographie: lames minces, analyses chimiques
4. Cristallochimie: structure cristalline
5. Synthèse: essais en laboratoire
6. Applications: batteries au lithium

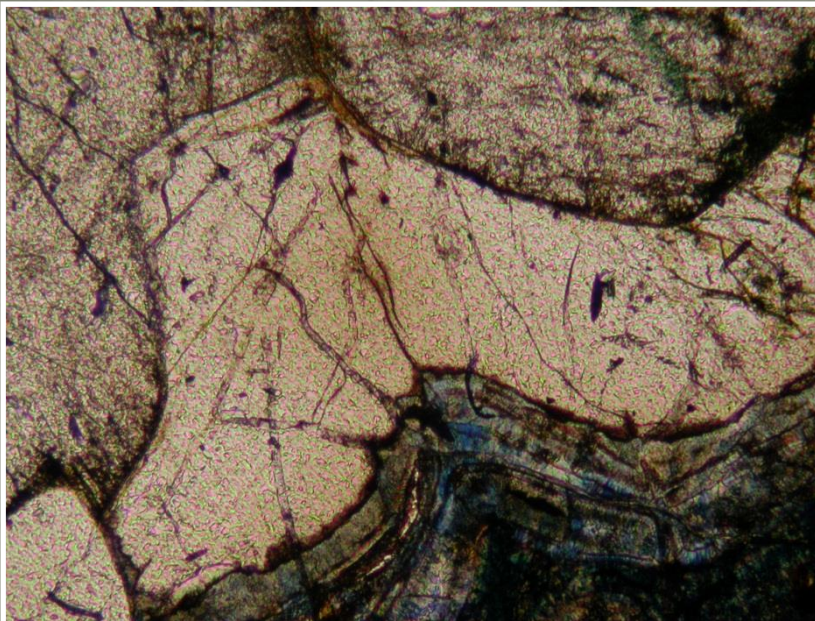
Gisements

- Pegmatites granitiques
- Roches métamorphiques
- Météorites

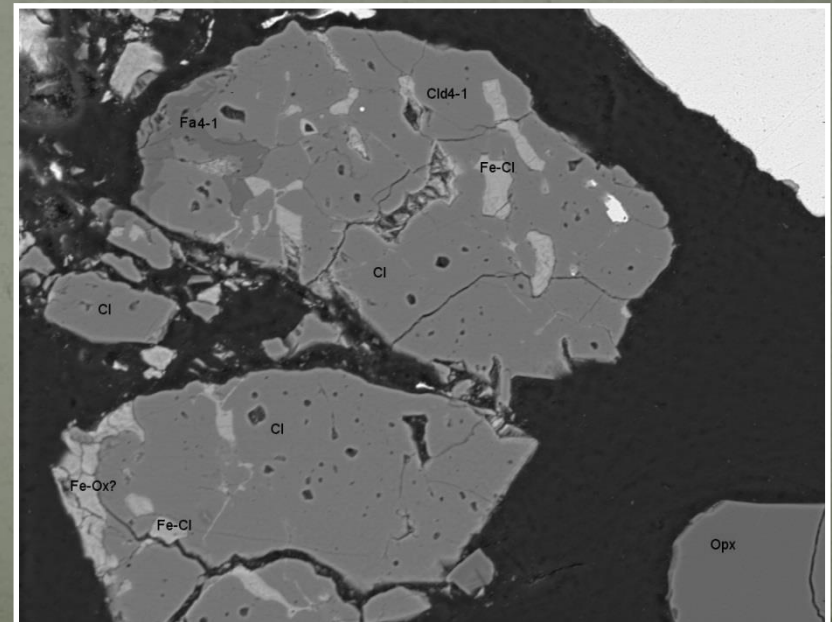


Fillowite + alluaudite, pegmatite de Kabira, Ouganda

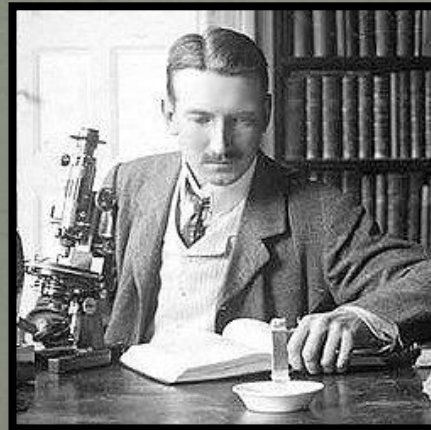
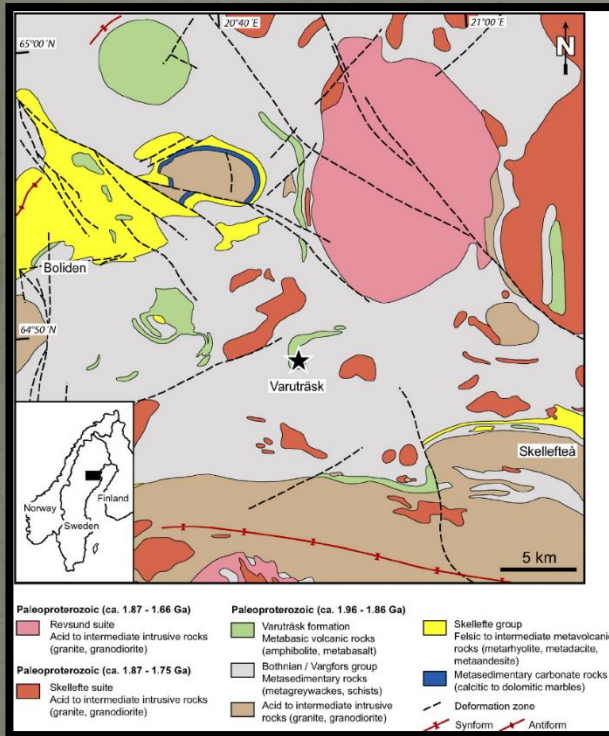
Chladniite, meteorite GRA 95209



Johnsomervilleite, Loch Quoich, Ecosse



La pegmatite de Varuträsk

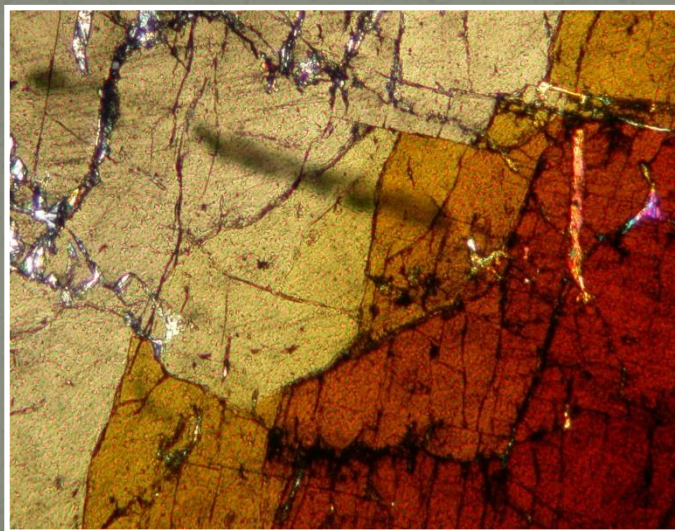
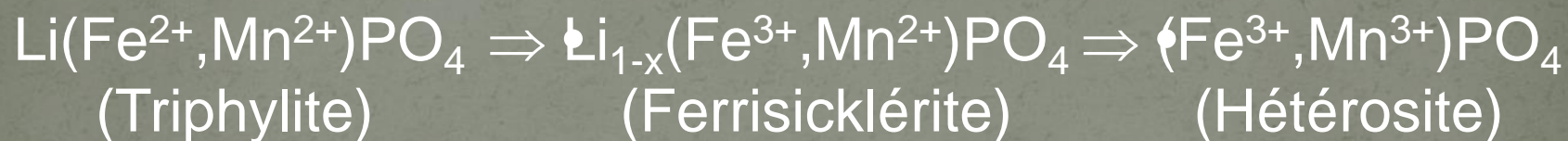
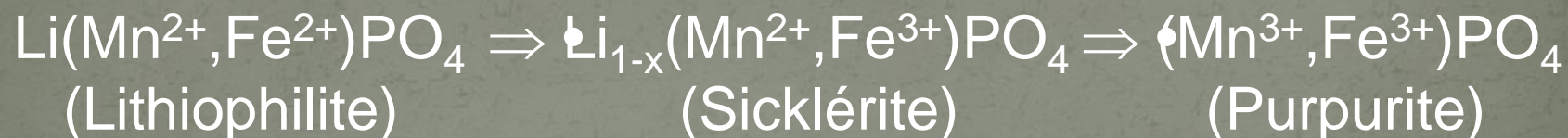


Percy Quensel (1881-1966)

Brian Mason (1917-2009)



Triphylite et lithiophilite



Séquence d'oxydation de « Quensel-Mason »

La varulite et l'alluaudite

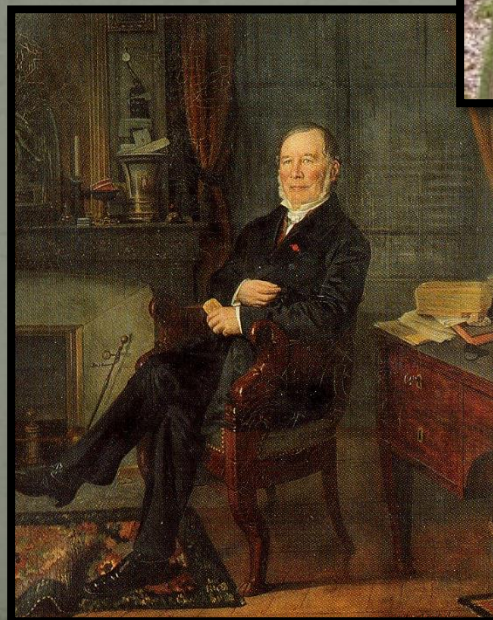


Varulite, $\text{Na}_2\text{Mn}_2\text{Fe}^{3+}(\text{PO}_4)_3$
Varuträsk, Suède

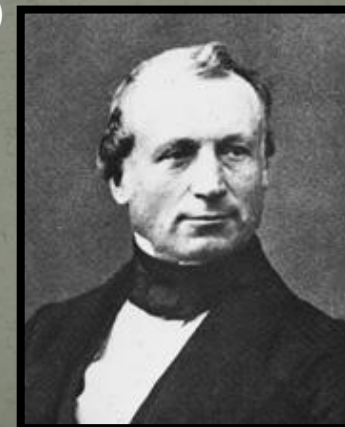
Pegmatite de Chanteloube
Alluaudite, $\text{NaMnFe}^{3+}_2(\text{PO}_4)_3$



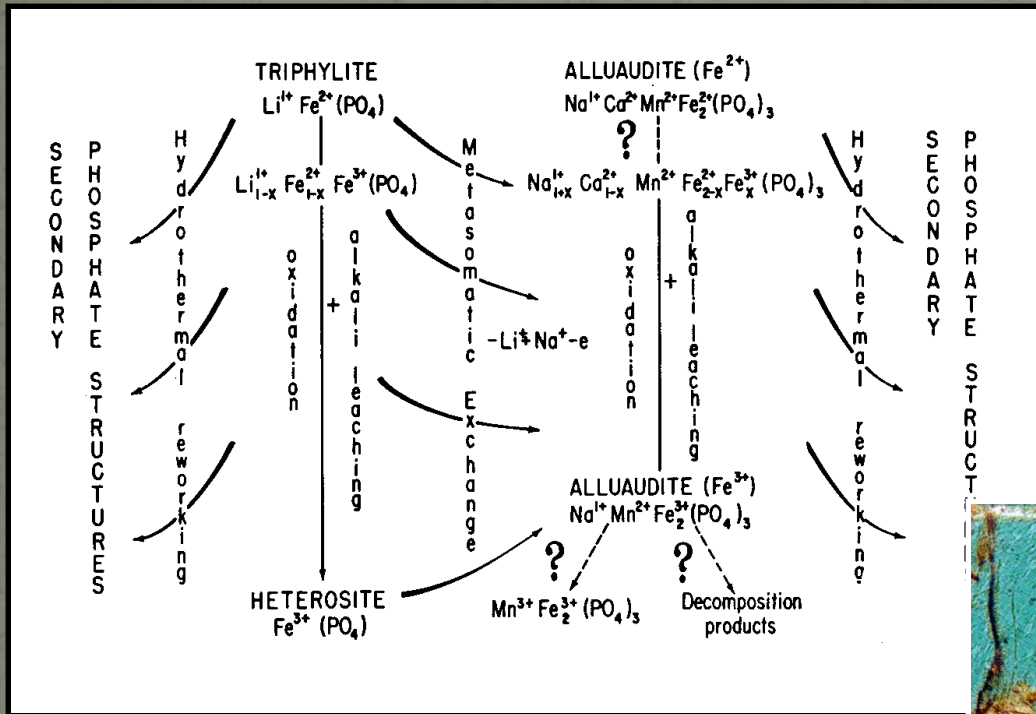
Augustin-Alexis Damour
(1808-1902)



François II Alluaud (1778-1866)
Maire de Limoges et minéralogiste

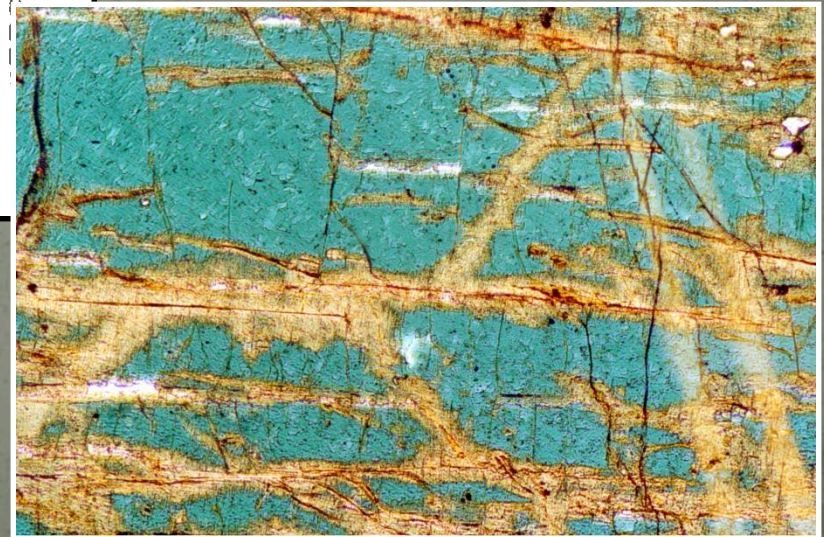


Stabilité des alluaudites?



- Origine secondaire
- Origine primaire

Mécanisme d'oxidation



Alluaudite, pegmatite de Kibingo, Rwanda

Missions de terrain

Brésil



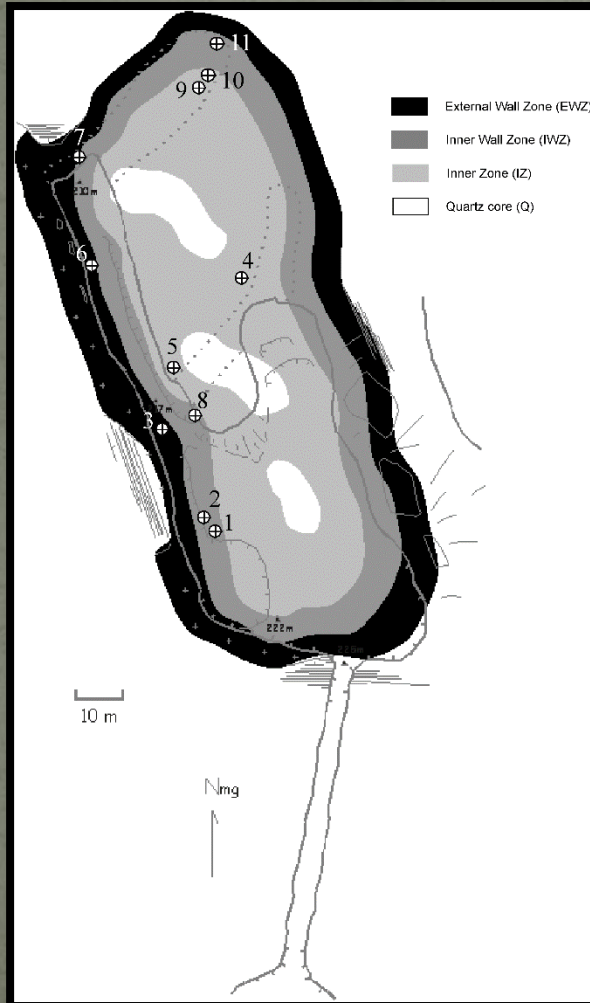
Simon Philippo (MHNL)
Maxime Baijot (Ulg)
Jacques Cassedanne (Rio)

Encar Roda-Robles (Bilbao)
Miguel Galliski (Mendoza)

Argentine



Zonation dans les pegmatites



MINERALOGY AND GEOCHEMISTRY OF PHOSPHATES AND SILICATES IN THE SAPUCAIA PEGMATITE, MINAS GERAIS, BRAZIL: GENETIC IMPLICATIONS

MAXIME BAIJOT AND FRÉDÉRIC HATERT[§]

Laboratoire de Minéralogie, B18, Université de Liège, B-4000 Liège, Belgium

SIMON PHILIPPO

*Section Minéralogie, Musée national d'histoire naturelle, Rue Münster 25, L-2160 Luxembourg,
Grand-Duché de Luxembourg*



Les phosphates Fe-Mn des pegmatites



Pegmatite de Buranga, Rwanda

Pegmatite de Sapucaia, Brésil



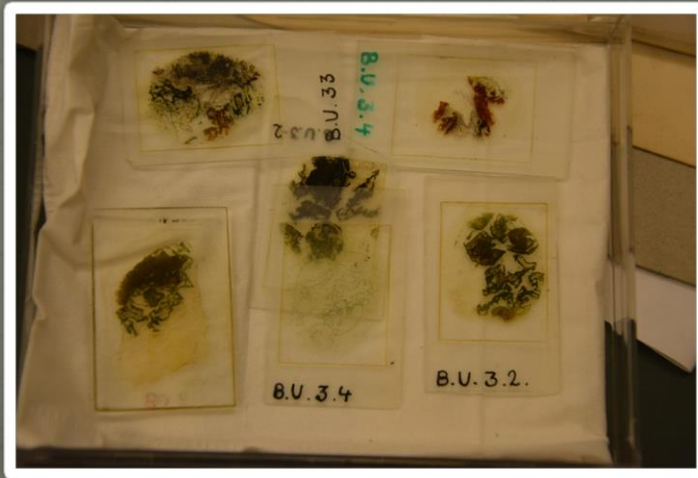
De retour au laboratoire....



Phosphates Fe-Mn



Péetrographie



Lames minces



Phosphates d'aluminium

L'association triphylite + sarcopside



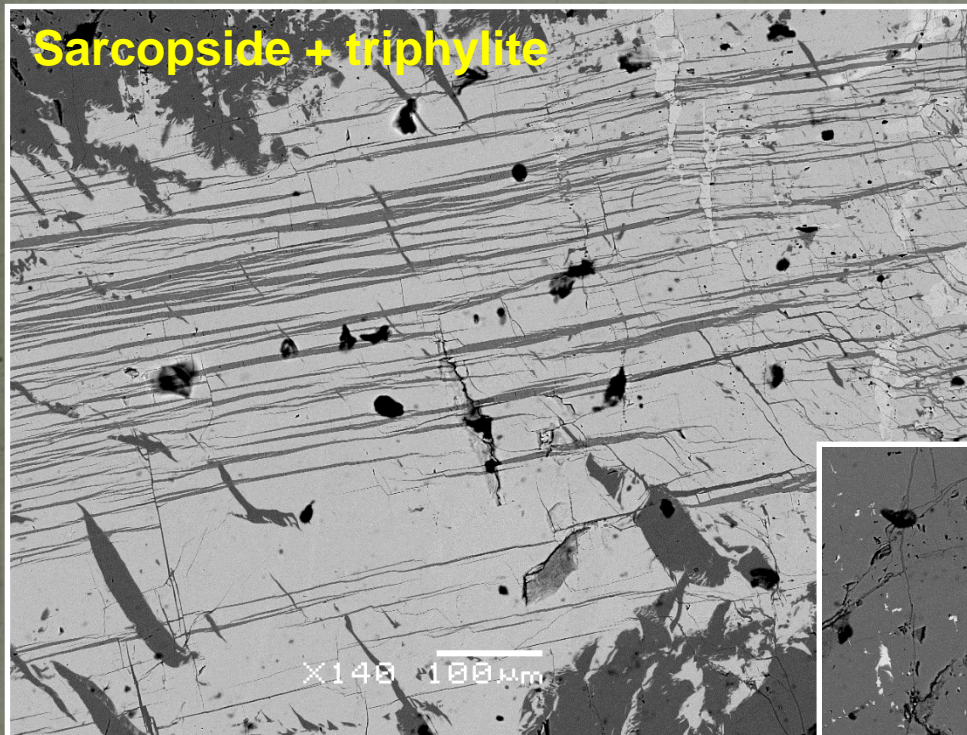
Intercroissances et inclusions dans les associations graftonite-sarcopside-triphylite

par ANDRÉ-MATHIEU FRANSOLET,
Institut de Minéralogie, Université de Liège (1).

Fransolet, 1977



L'association triphylite + sarcopside

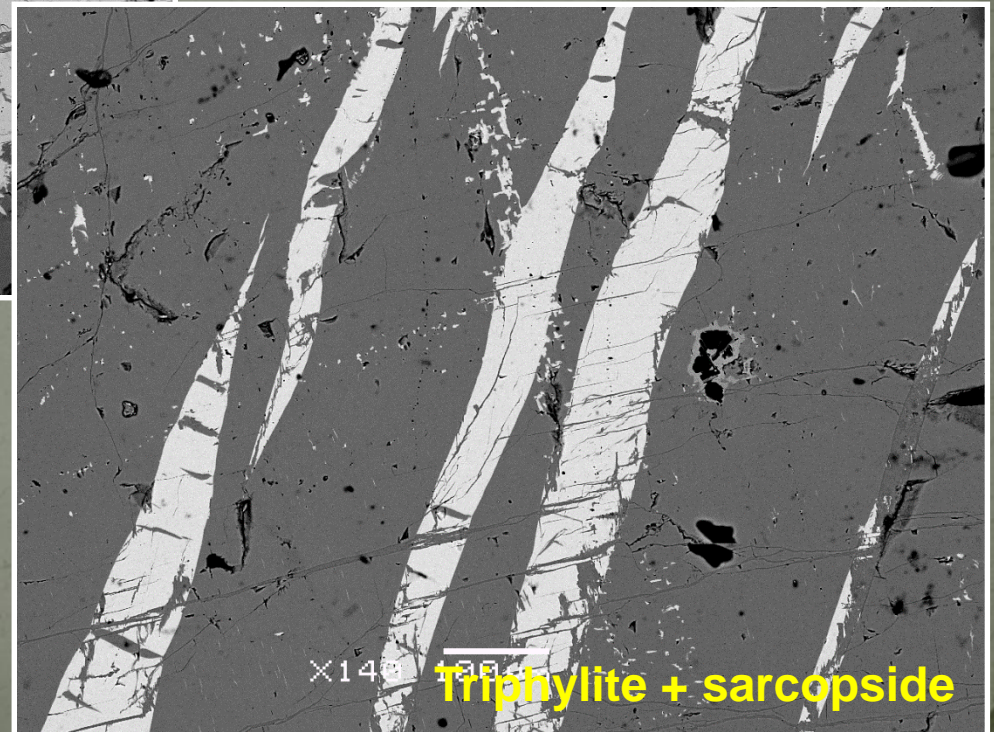


**Pegmatite de Cañada,
Espagne**

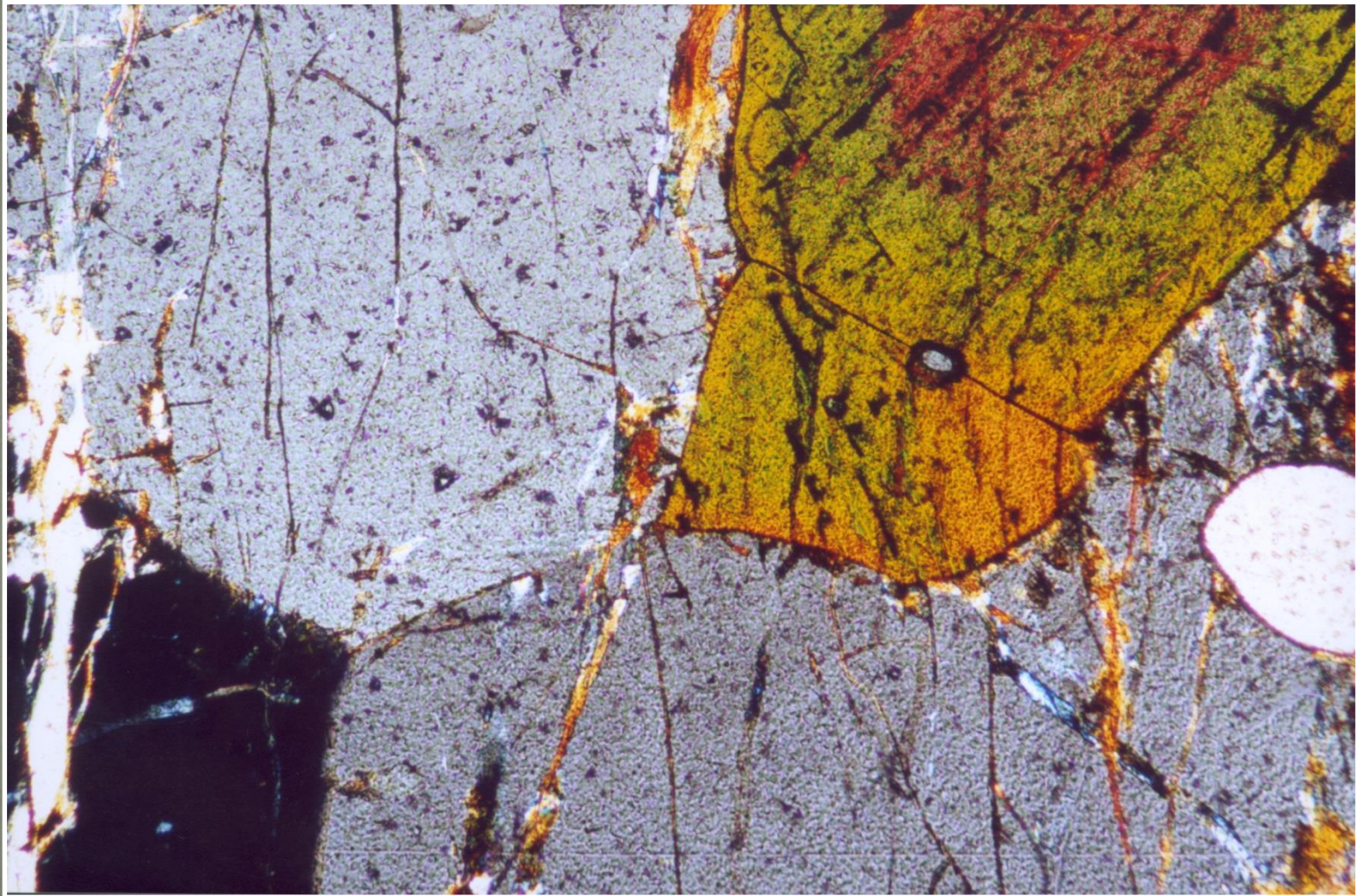
Textures lamellaires



EXSOLUTIONS!!

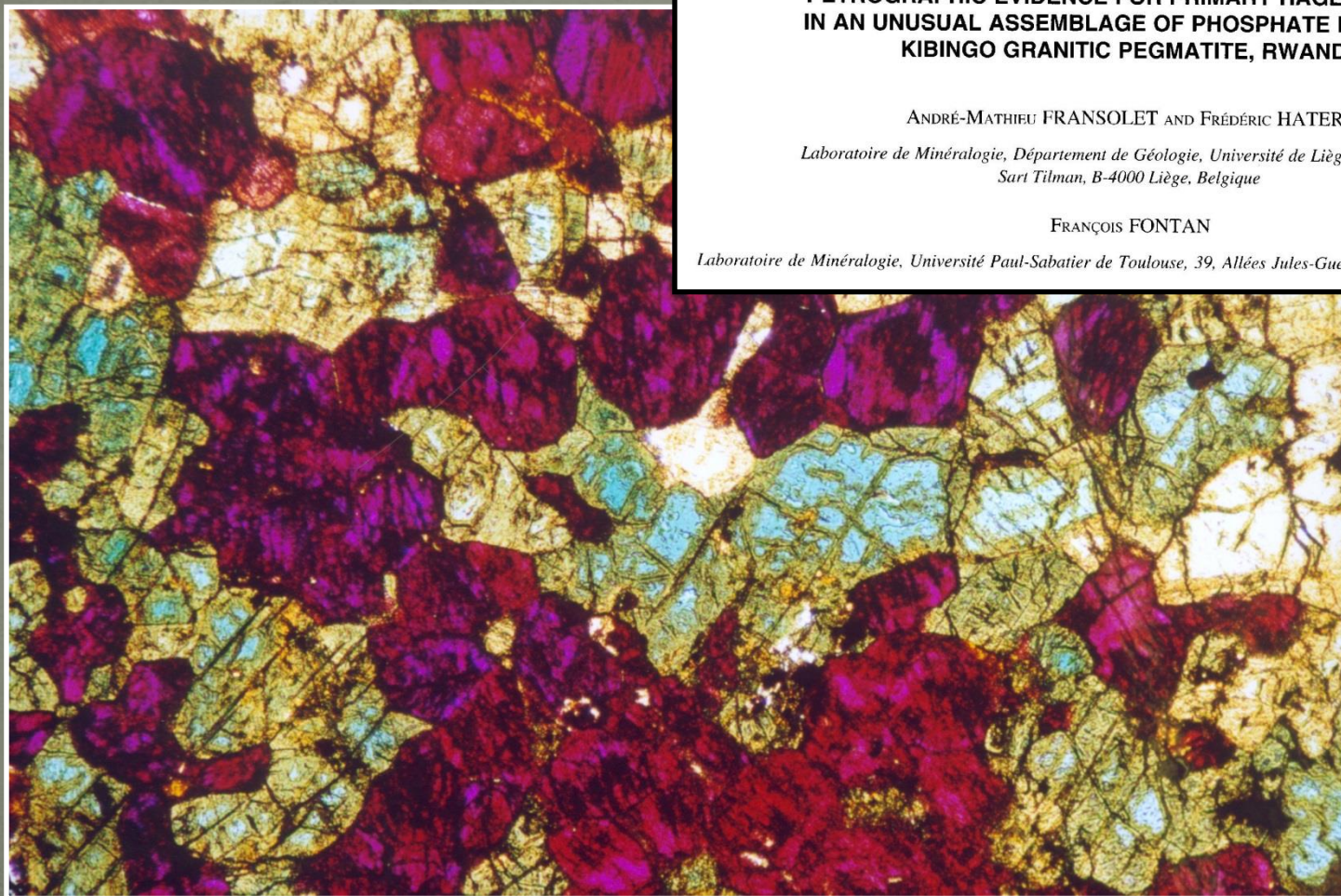


L'association alluaudite + fillowite



Alluaudite + fillowite, Kabira, Uganda

L'association triphylite + alluaudite



**PETROGRAPHIC EVIDENCE FOR PRIMARY HAGENDORFITE
IN AN UNUSUAL ASSEMBLAGE OF PHOSPHATE MINERALS,
KIBINGO GRANITIC PEGMATITE, RWANDA**

ANDRÉ-MATHIEU FRANSOLET AND FRÉDÉRIC HATERT

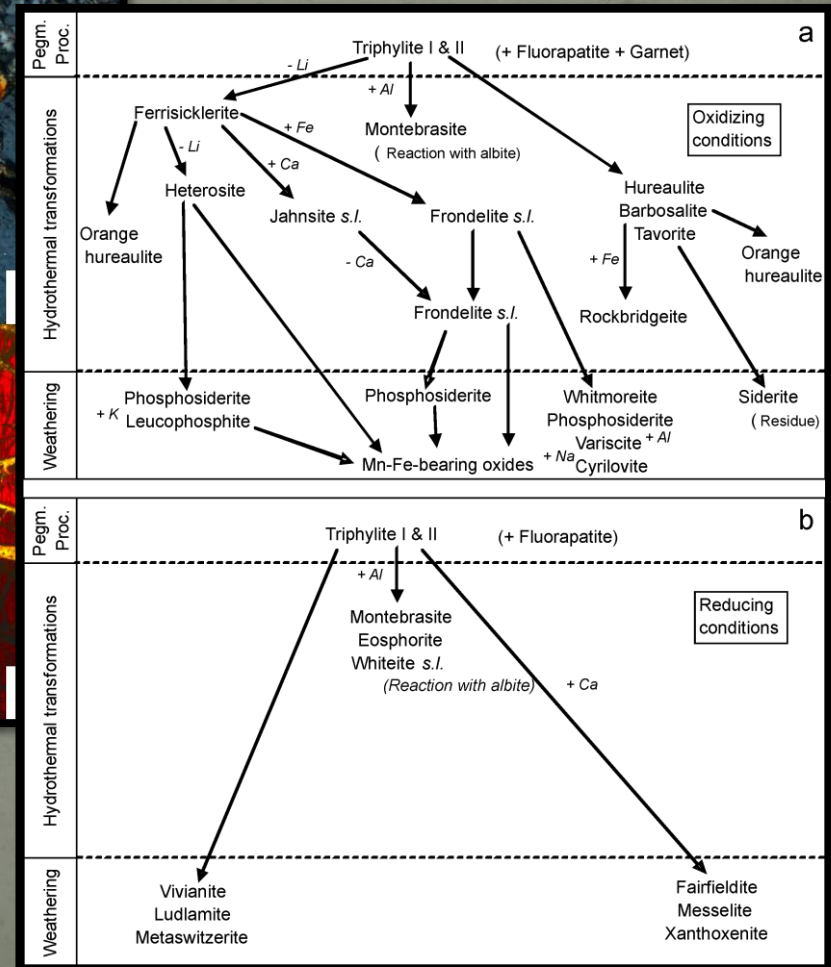
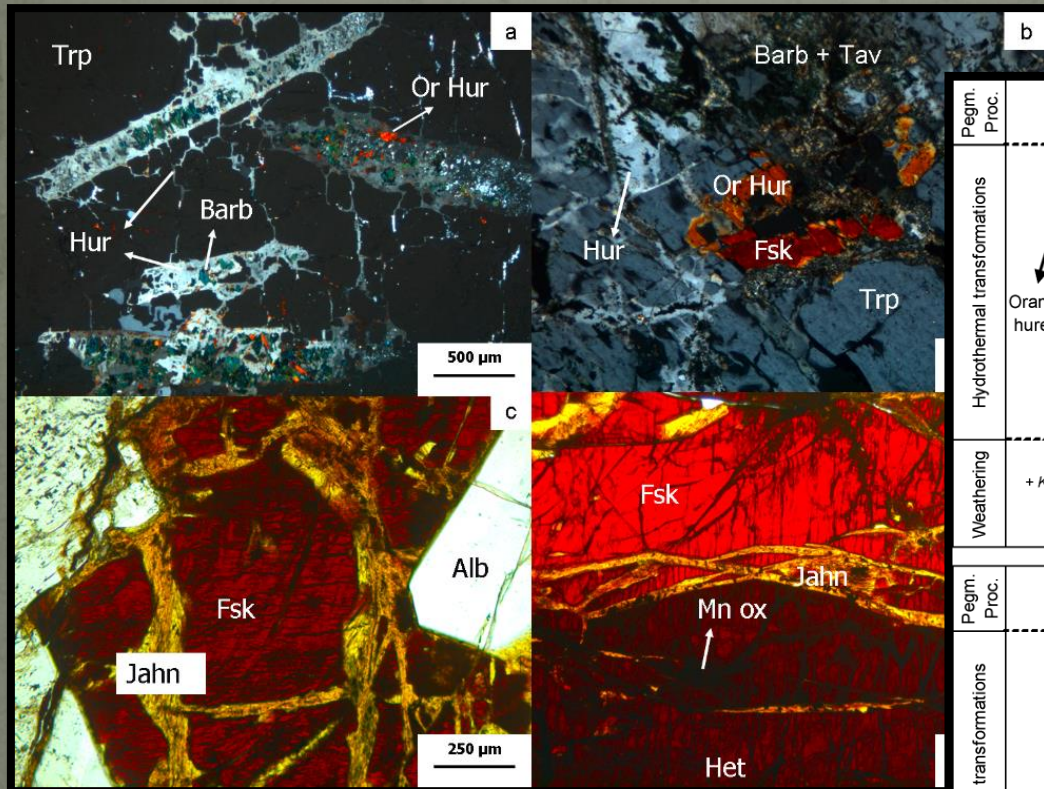
*Laboratoire de Minéralogie, Département de Géologie, Université de Liège, Bâtiment B18,
Sart Tilman, B-4000 Liège, Belgique*

FRANÇOIS FONTAN

Laboratoire de Minéralogie, Université Paul-Sabatier de Toulouse, 39, Allées Jules-Guesde, F-31000 Toulouse, France

Hagendorfite, alluaudite et hétérosite, Kibingo, Rwanda

Complex assemblages from Sapucaia



Analyses chimiques à la microsonde

Microsonde électronique (Na, Fe, Mn, P)



Microsonde ionique (SIMS: Li)



Oxidation de la série triphyllite-lithiophilite



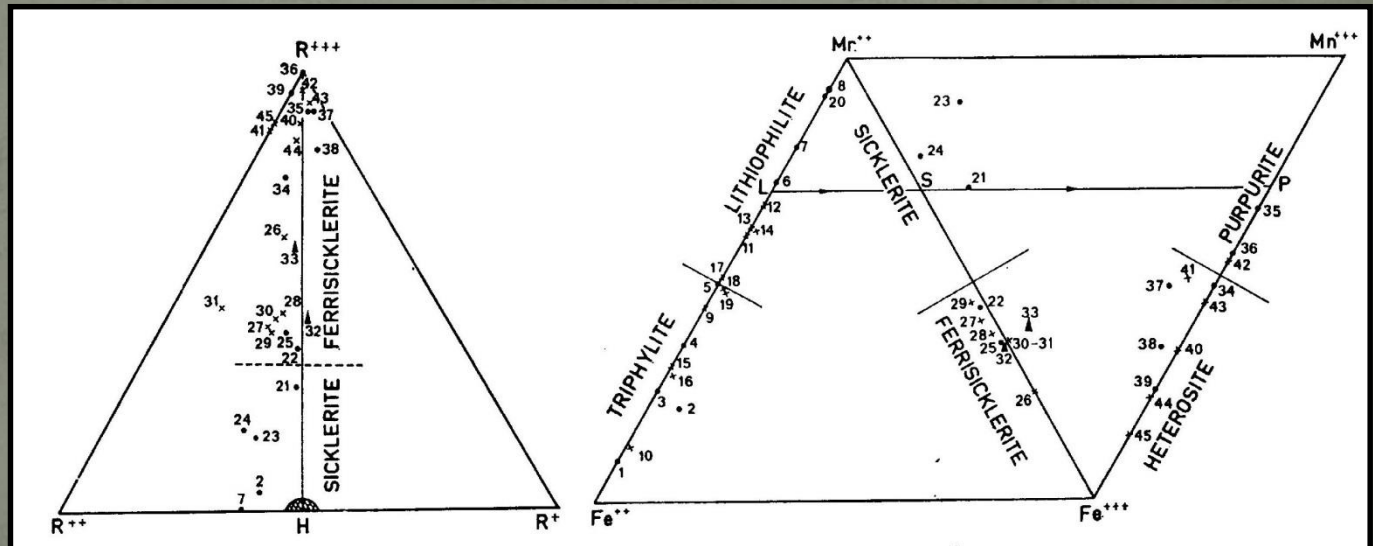
François Fontan
(1942-2007)

La ferrisicklélite des pegmatites de Sidi Bou Othmane
(Jebilet, Maroc)

et le groupe des minéraux à structure de triphyllite

par FRANÇOIS FONTAN *, PAUL HUVELIN **, MARCEL ORLIAC * et FRANÇOIS PERMINGEAT *.

1976

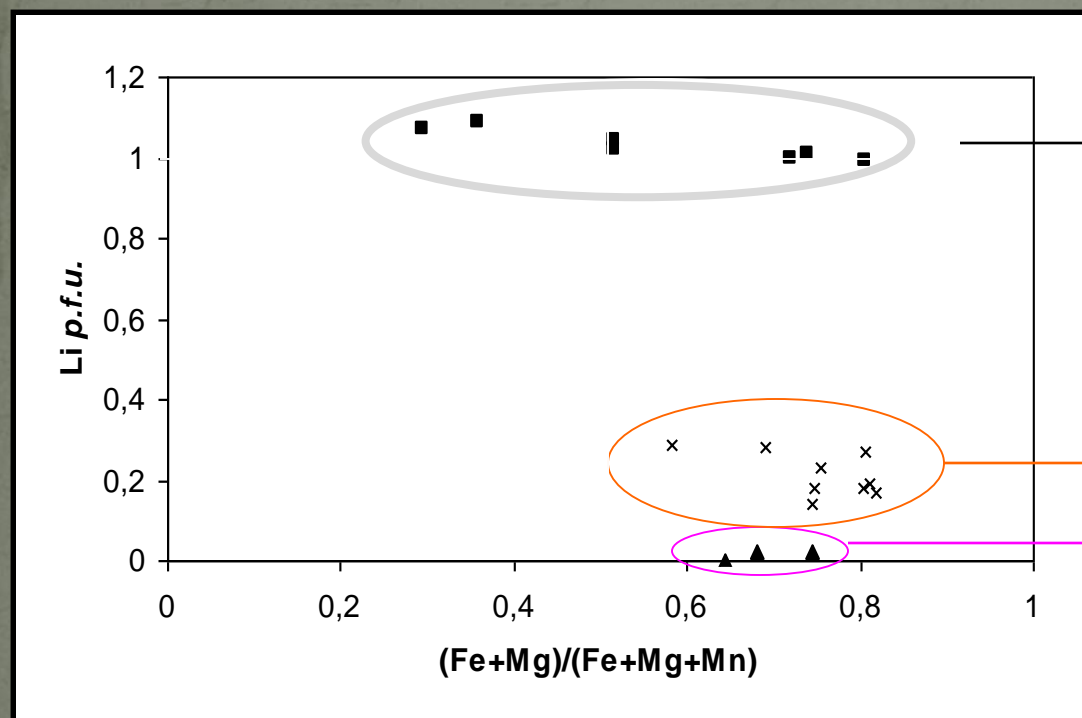


Le processus d'oxydation n'est pas continu!

Analyses d'échantillons naturels



Analyses à la microsonde électronique, SIMS et déterminations structurales sur 19 échantillons



Triphylite-lithiophilite
0,99-1,07 Li *p.u.f.*

Ferrisicklérîte
0,14-0,29 Li *p.u.f.*

Hétérosite
0,00-0,02 Li *p.u.f.*

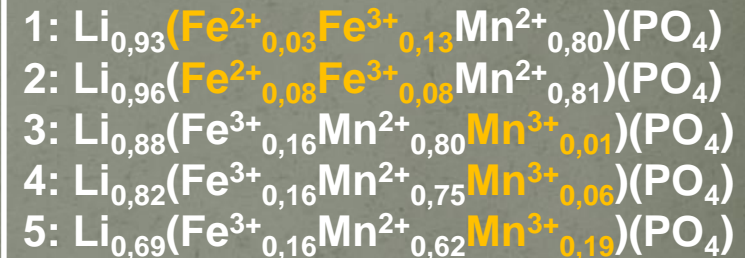
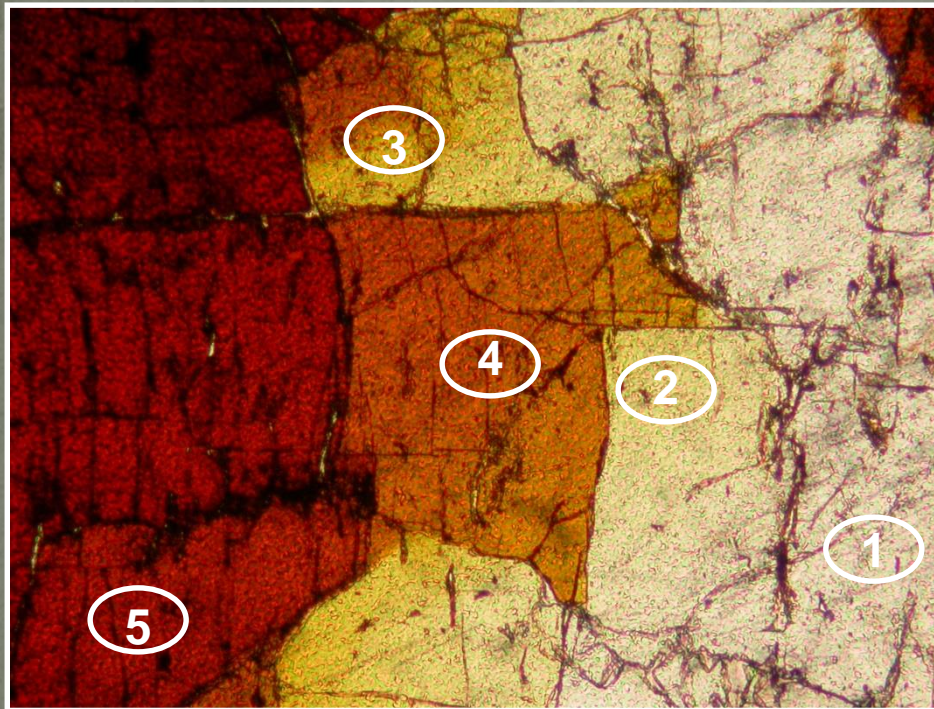
L'hétérosite peut contenir jusqu'à 0,21 % en poids de Li_2O , et la ferrisicklérîte peut contenir seulement 1,31 % en poids de Li_2O



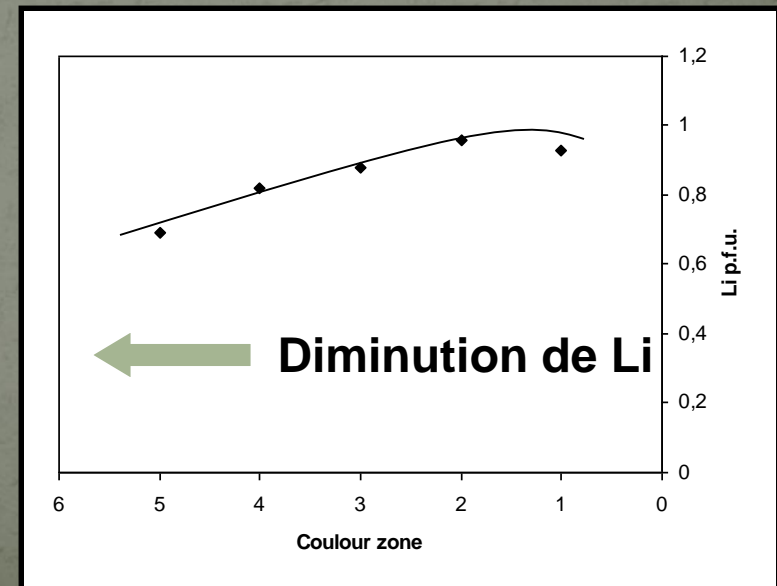
Contenus en Li proches!

La série lithiophilite-sicklérinite

Echantillon de l'Altaï, Chine



- 
- La transition de la lithiophilite en sicklérinite est progressive
 - Le changement de couleur est lié à la présence de Mn^{3+}



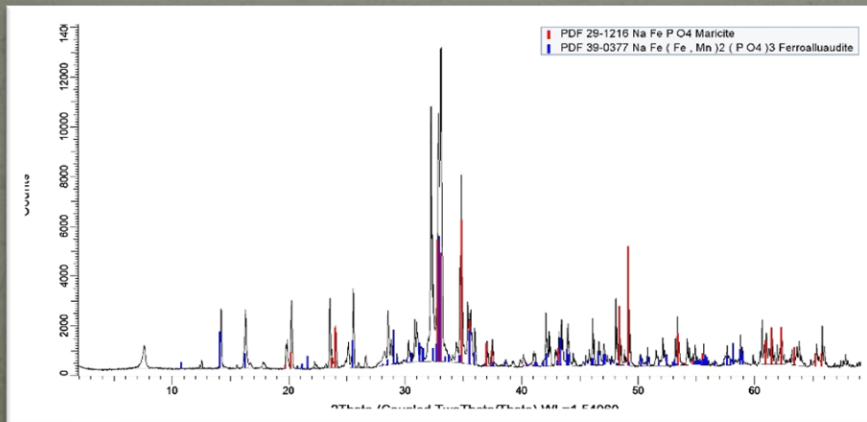
Diffraction des rayons X sur poudres



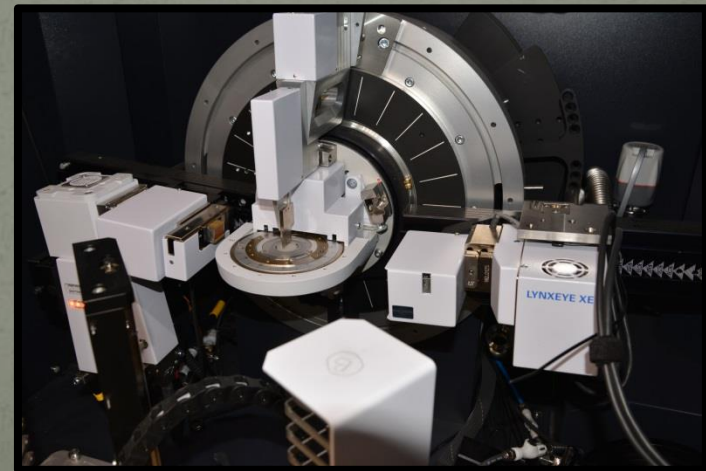
Préparation de l'échantillon



Passeur automatique



Diffractogramme de poudres

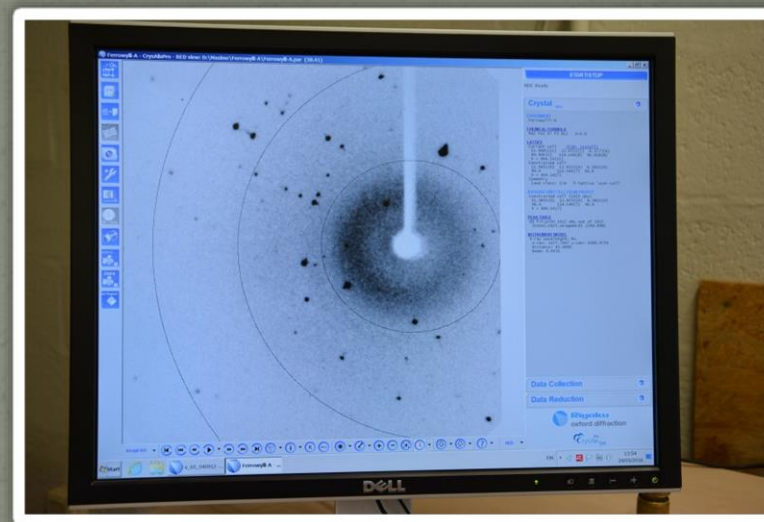


Diffractomètre de poudres

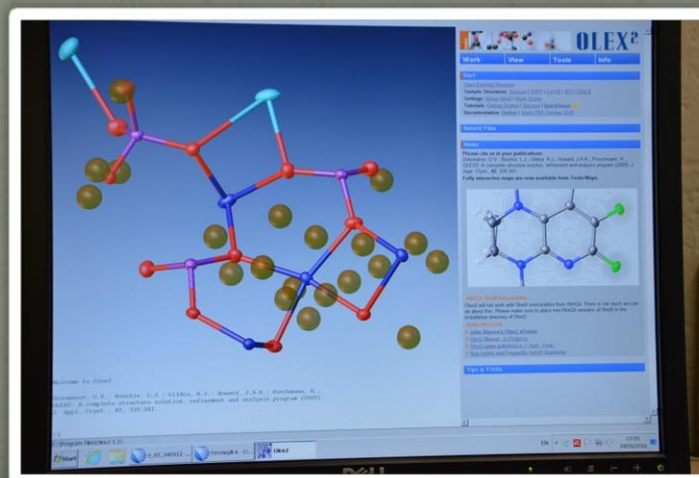
Diffraction sur monocristaux



Diffractomètre à 4 cercles

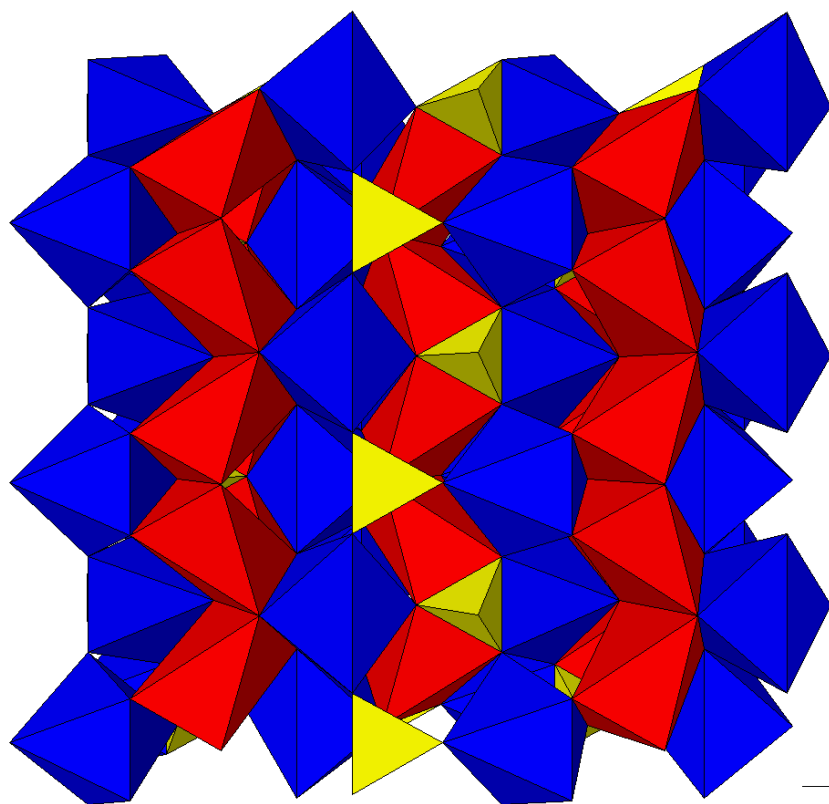


Taches de diffraction



Détermination de la structure

La structure olivine



- Triphylite, $\text{LiFe}^{2+}(\text{PO}_4)$
- Lithiophilite, $\text{LiMn}(\text{PO}_4)$
- Natrophilite, $\text{NaMn}(\text{PO}_4)$
- Karenwebberite, $\text{NaFe}^{2+}(\text{PO}_4)$

Octaèdres rouges: M1 (Li, Na)
Octaèdres bleus: M2 (Fe, Mn)

Groupe spatial
Pmnb

$a = 6,092 \text{ \AA}$
 $b = 10,429 \text{ \AA}$
 $c = 4,738 \text{ \AA}$

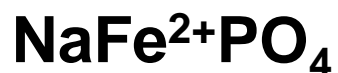
La karenwebberite, une nouvelle espèce...



American Mineralogist, Volume 98, pages 767–772, 2013

Karenwebberite, $\text{Na}(\text{Fe}^{2+}, \text{Mn}^{2+})\text{PO}_4$, a new member of the triphylite group from the Malpensata pegmatite, Lecco Province, Italy

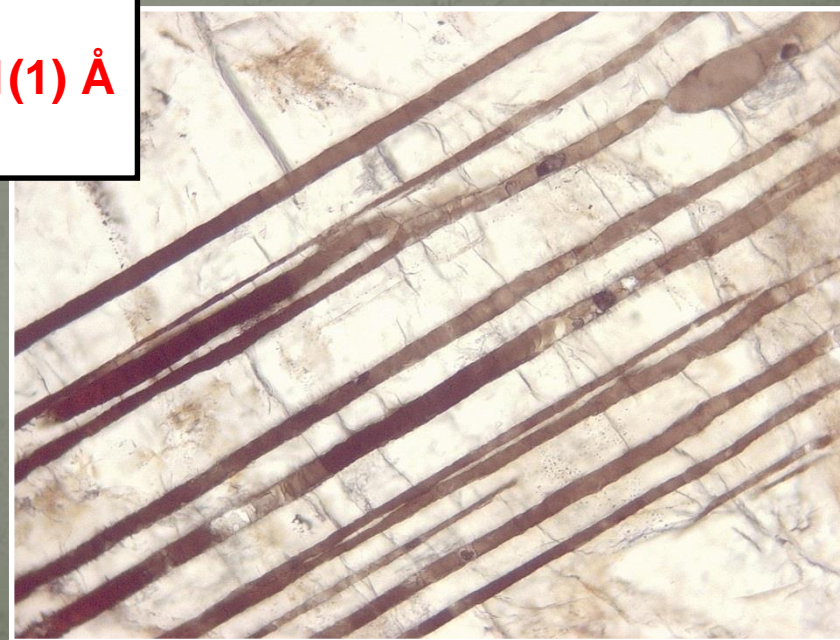
PIETRO VIGNOLA,¹ FRÉDÉRIC HATERT,^{2,*} ANDRÉ-MATHIEU FRANSOLET,² OLAF MEDENBACH,³ VALERIA DIELLA,¹ AND SERGIO ANDÒ⁴



$a = 4,882(1)$, $b = 10,387(2)$, $c = 6,091(1)$ Å
Pbnm



Karen Louise Webber



Malpensata pegmatite, Italy

La zavalíaite aussi!



ZAVALÍAITE, $(\text{Mn}^{2+}, \text{Fe}^{2+}, \text{Mg})_3(\text{PO}_4)_2$, A NEW MEMBER OF THE SARCOPSIDE GROUP FROM THE LA EMPLEADA PEGMATITE, SAN LUIS PROVINCE, ARGENTINA

FRÉDÉRIC HATERT[§]

Laboratoire de Minéralogie, Département de Géologie, Université de Liège, Bâtiment B18, Sart Tilman, B-4000 Liège, Belgium

ENCARNACIÓN RODA-ROBLES

Departamento de Mineralogía y Petrología, Universidad del País Vasco/EHU, Apdo. 644, E-48080 Bilbao, Spain

$a = 6,088(1) \text{ \AA}$
 $b = 4,814(1) \text{ \AA}$
 $c = 10,484(2) \text{ \AA}$
 $\beta = 89,42(3)^\circ$
 G.S. $P2_1/c$

Argentina

$\text{Mn}_3(\text{PO}_4)_2$



Florencia Márquez Zavalía



La structure sarcopside

Sarcopside

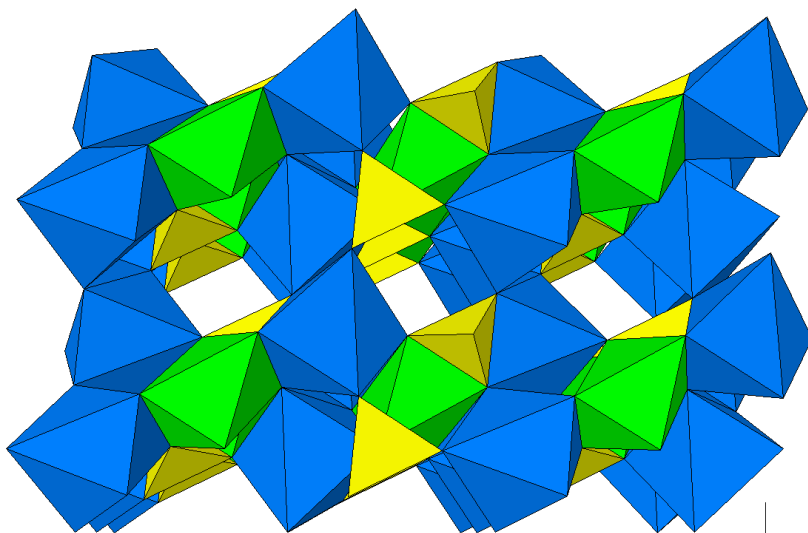
$$a = 6.088(1) \text{ \AA}$$

$$b = 4.814(1) \text{ \AA}$$

$$c = 10.484(2) \text{ \AA}$$

$$\beta = 89.42(3)^\circ$$

$$\text{S.G. } P2_1/c$$



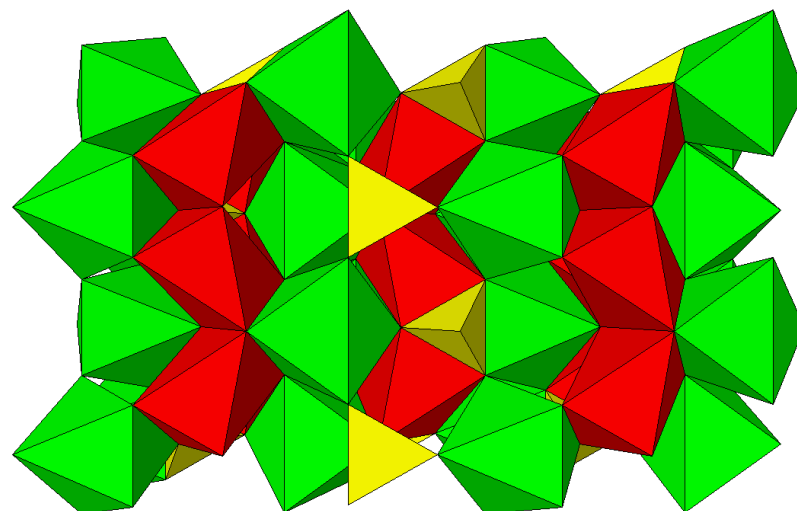
Triphylite

$$a = 5.987 \text{ \AA}$$

$$b = 10.286 \text{ \AA}$$

$$c = 4.690 \text{ \AA}$$

$$\text{S.G. } Pmnb$$



- Structures similaires
- 50 % des positions M(1) sont lacunaires dans le sarcopside

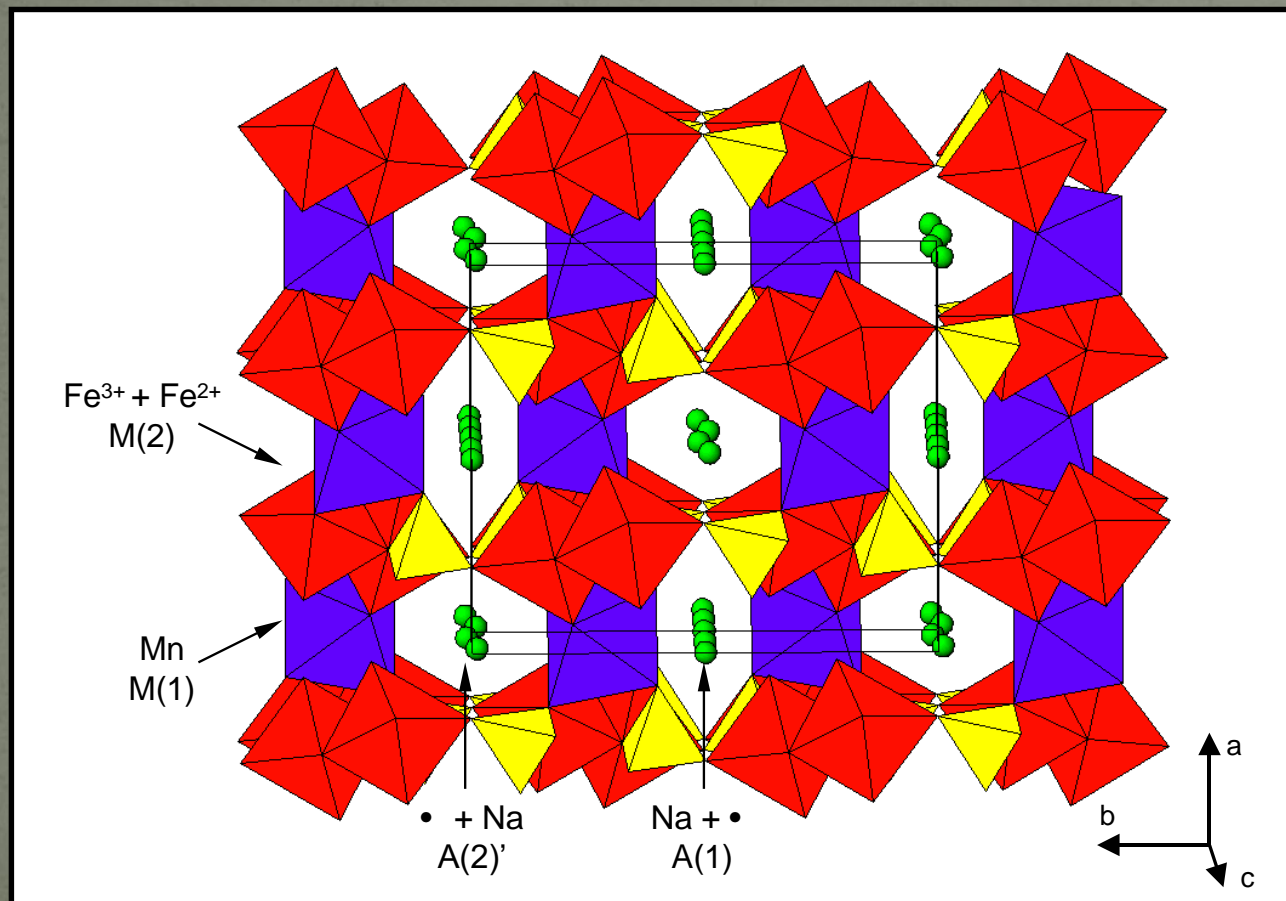
La structure alluaudite

A(2)': Disphénoèdre déformé

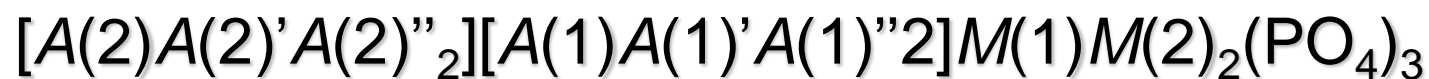
A(1): Cube déformé

M(1): Octaèdre très déformé

M(2): Octaèdre déformé



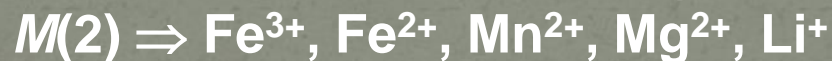
$C2/c, Z = 4$



Cristallochimie des alluaudites



• Moore & Ito (1979)



• Hatert et al.

Crystal chemistry of the divalent cation in alluaudite-type phosphates:
A structural and infrared spectral study of the $\text{Na}_{1.5}(\text{Mn}_{1-x}\text{M}_x^{2+})_{1.5}\text{Fe}_{1.5}(\text{PO}_4)_3$
solid solutions ($x = 0$ to 1 , $\text{M}^{2+} = \text{Cd}^{2+}, \text{Zn}^{2+}$)

Frédéric Hatert *

Laboratoire de Minéralogie, Université de Liège, Bâtiment B18, B-4000 Liège, Belgium

American Mineralogist, Volume 90, pages 653–662, 2005

Crystal chemistry of the hydrothermally synthesized $\text{Na}_2(\text{Mn}_{1-x}\text{Fe}_x^{2+})_2\text{Fe}^{3+}(\text{PO}_4)_3$
alluaudite-type solid solution

FRÉDÉRIC HATERT,^{1,2,*} LEILA REBBOUH,³ RAPHAËL P. HERMANN,³ ANDRÉ-MATHIEU FRANSOLET,¹
GARY J. LONG,⁴ AND FERNANDE GRANDJEAN³

Cation	Ionic radius (Å)		Site			
	[VI]	[VIII]	A(2)'	A(1)	M(1)	M(2)
Ag ⁺	1.15	1.28	X	X		
Na ⁺	1.02	1.18	X	X	X	
Cu ⁺	0.77	-	p	p		
Li ⁺	0.76	0.92	p	p		
Ca ²⁺	1.00	1.12	p	p	p	
Cd ²⁺	0.95	1.10		p	X	p
Mn ²⁺	0.830	0.96	p	p	X	X
Fe ²⁺	0.780	0.92			X	X
Co ²⁺	0.745	0.90			X	X
Zn ²⁺	0.740	0.90			X	P
Cu ²⁺	0.73	-		p		
Mg ²⁺	0.720	0.89			X	X
In ³⁺	0.800	0.92			p	X
Fe ³⁺	0.645	0.78		p		X
Ga ³⁺	0.620	-				p
Cr ³⁺	0.615	-				p
Al ³⁺	0.535	-				p

X : Complete occupancy of the site

p : Partial occupancy of the site

Synthèses hydrothermales



Laboratoire hydrothermal



Tubes en or

Bombe hydrothermale



Capsules en or ouvertes



Stabilité de la ferrisicklélite



Phosphate paragenesis

Primary Crystallization

~ 600°C - 500°C



High Temperature Metasomatic Alteration Hydroxylation and cation exchange

~ 500°C - 300°C



Low Temperature Metasomatic Alteration Hydration, hydroxylation and cation exchange

~ 300°C - 100°C

- Température de cristallisation de la ferrisicklélite?
- Degré d'oxydation nécessaire?

High Temperature Metasomatic Alteration

Triphylite-lithiophilite $\text{Li}(\text{Fe}^{2+}, \text{Mn}^{2+})\text{PO}_4$

~ 500°C - 300°C

Non-oxidizing conditions

Leaching of Li^+
Addition of OH^-
Wolfeite-triploidite

Addition of Al^{3+}
Graphite, Scorzalite

Addition of Ca^{2+}
Whitlockite

Addition of Na^+
Natrophilite

Oxidizing conditions

Oxidation of Fe^{2+} to Fe^{3+}
Ferrisicklerite-sicklerite

Leaching of Li^+
Heterosite-purpurite

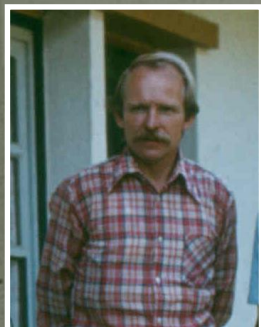
Addition of Na^+ and Ca^{2+}
Alluaudite group

Simmons *et al.* 2003

Expériences préliminaires

- 200-600°C, 1-3 kbar
- Basse $f\text{O}_2$: triphylite
- Haute $f\text{O}_2$: $\text{LiFe}^{3+}\text{PO}_4(\text{OH})$

Stabilité de la ferrisicklélite



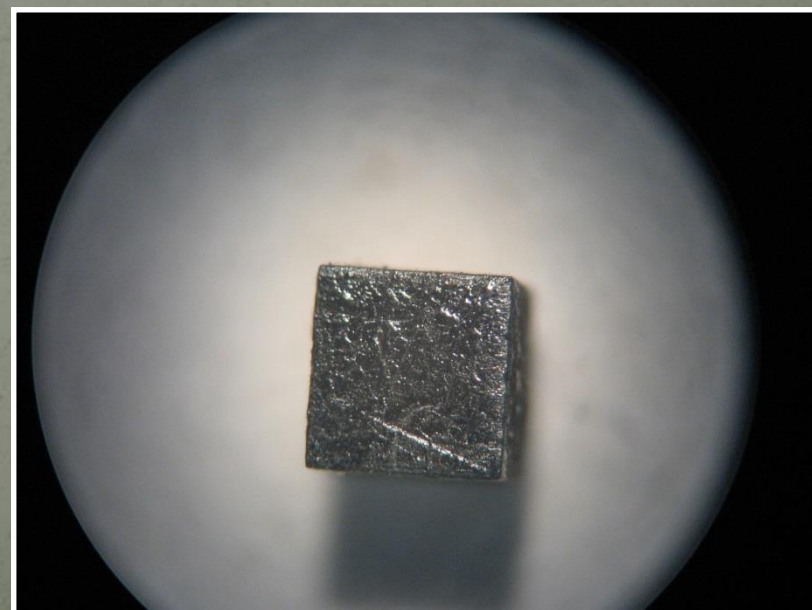
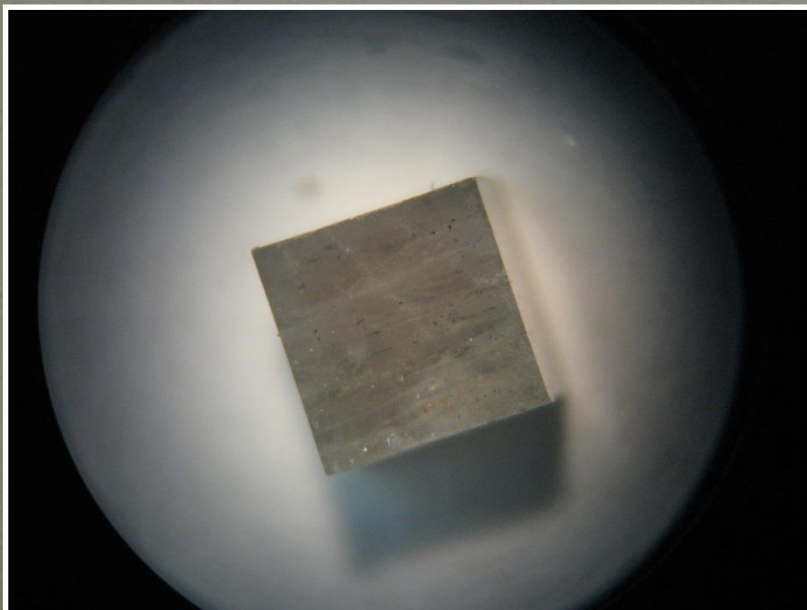
Echantillon 9706.41, Palermo, USA
Collection Paul Keller, Stuttgart

X LiFePO_4 = 0,74(1) 100% Fe^{2+}
X LiMnPO_4 = 0,21(1)
X LiMgPO_4 = 0,05(1)

0,1n HCl, 21mg KMnO_4 , 120°C, 28 jours

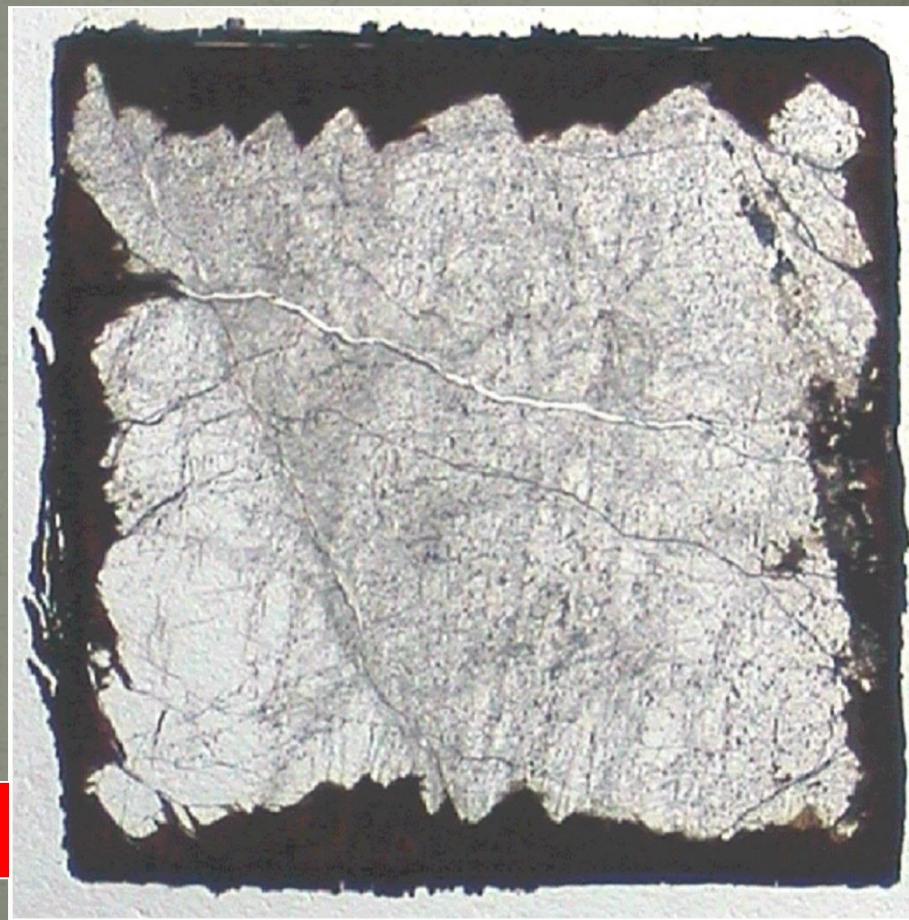
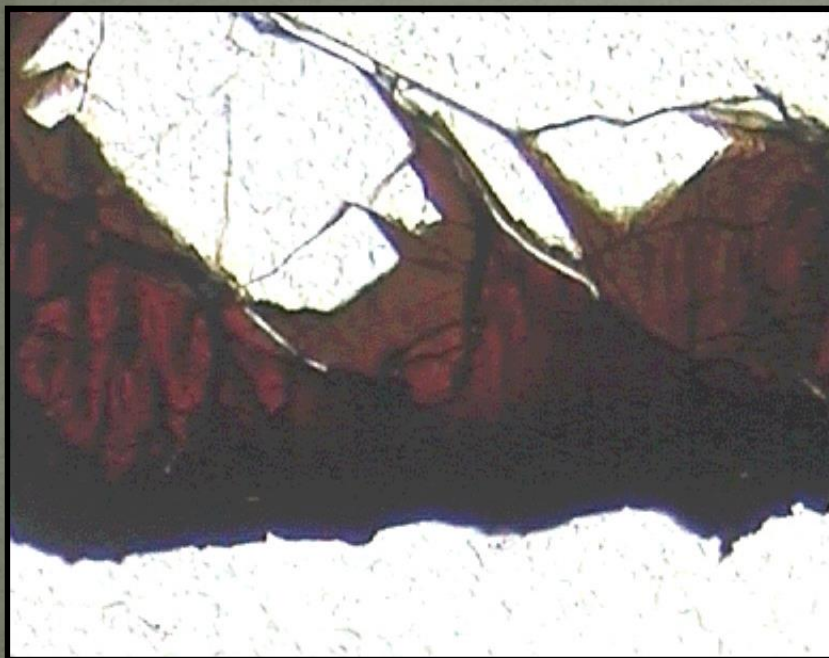
Avant expérience

Après expérience



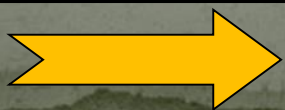
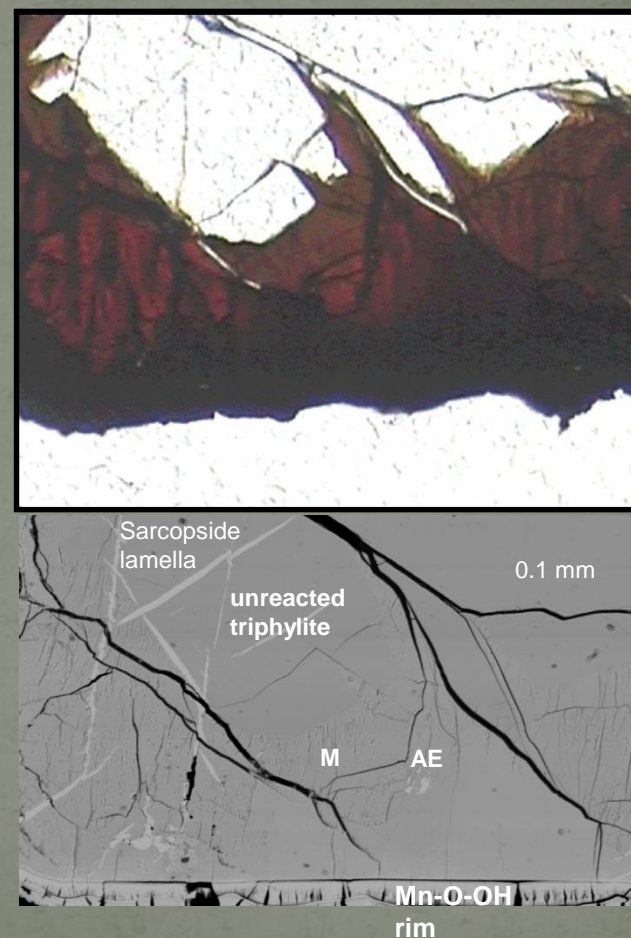
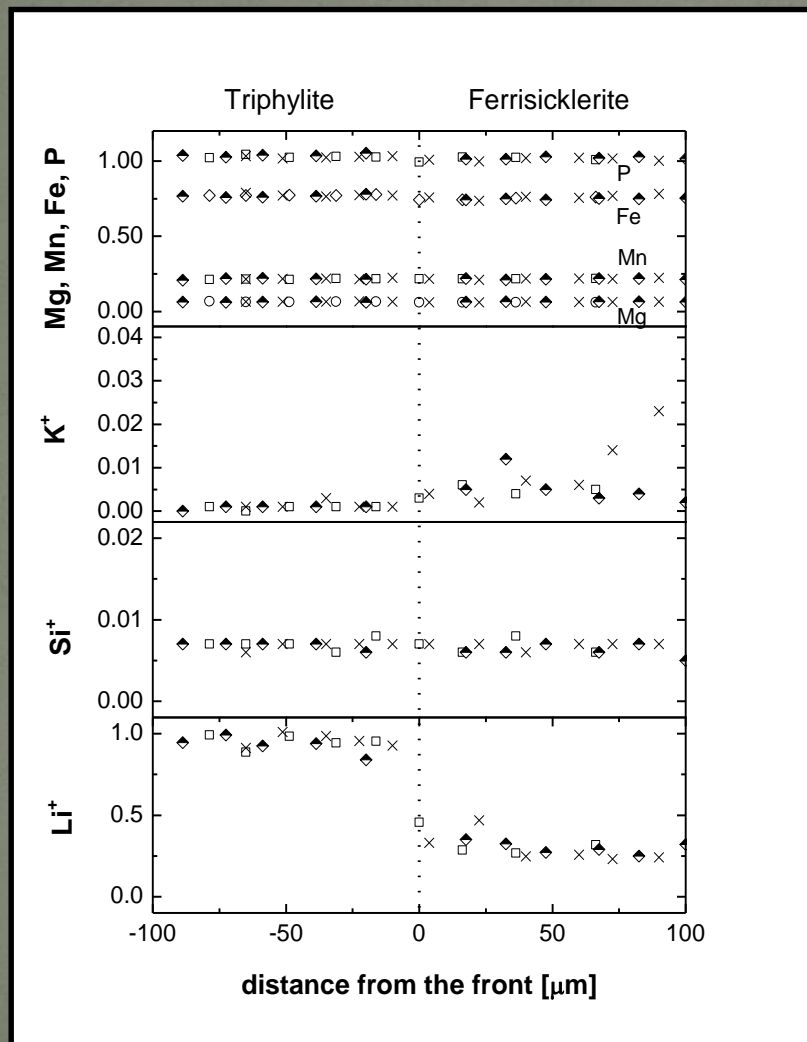
Stabilité de la ferrisicklélite

- Première synthèse hydrothermale de ferrisicklélite
- Très basse température
- Très haute fO_2



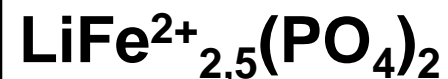
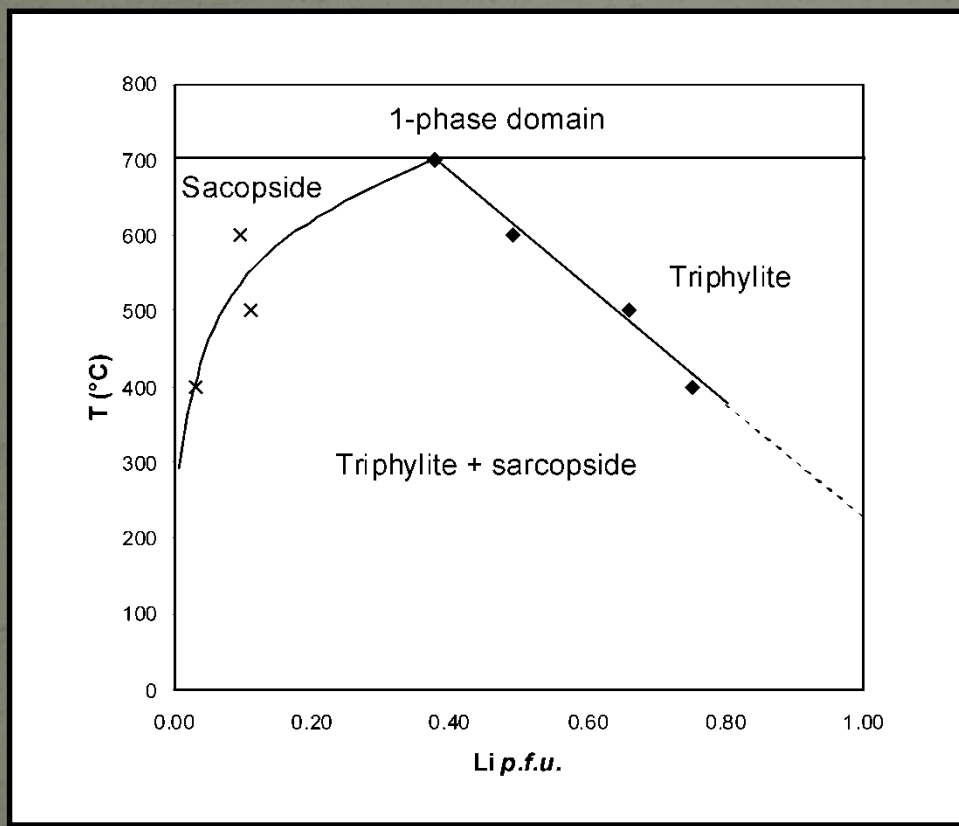
La ferrisicklélite est un minéral d'altération de basse température ?

Diminution du contenu en lithium



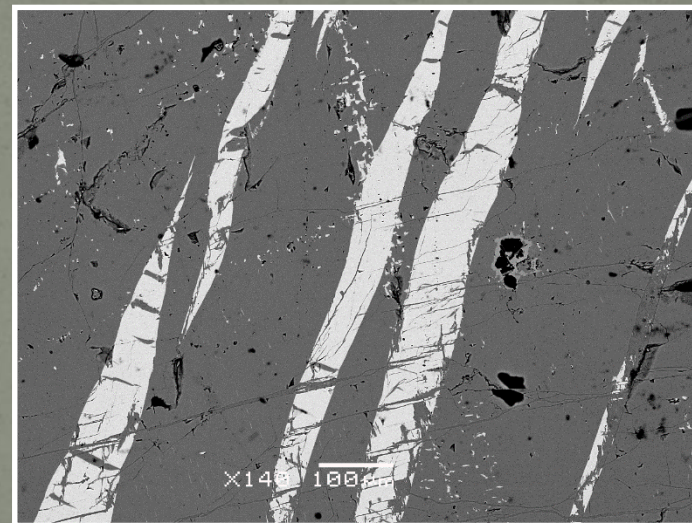
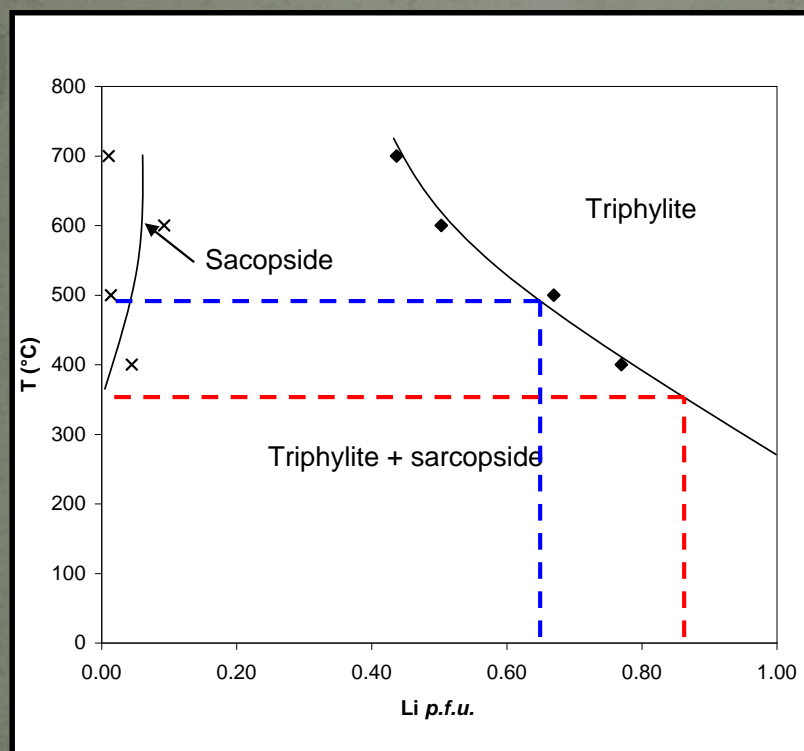
Contact net entre la triphylite et la ferrisickléríte!

Stabilité de l'association triphylite + sarcopside



- Diminution du contenu en Li de la triphylite, de 0,72 *a.p.u.f.* à 400 $^{\circ}\text{C}$, à 0,48 *a.p.u.f.* à 600 $^{\circ}\text{C}$
- Augmentation du contenu en Li du sarcopside, de 0,01 *a.p.u.f.* à 400 $^{\circ}\text{C}$, à 0,05 *a.p.u.f.* à 600 $^{\circ}\text{C}$
- 1 seule phase au-dessus de 700 $^{\circ}\text{C}$

Estimation des températures de cristallisation



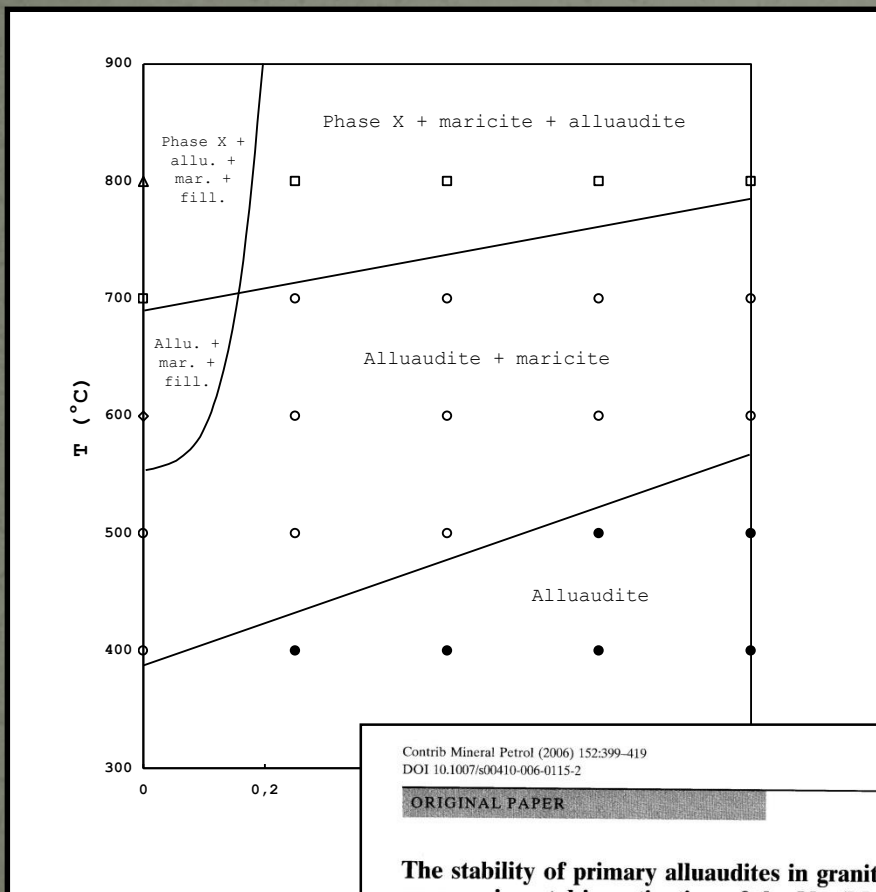
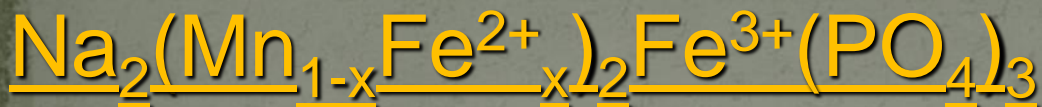
Cañada

35 % sarcopside et 65 % triphylite
T ~ 500°C

Tsoabismund

15 % sarcopside et 85 % triphylite
T ~ 350°C

La solution solide



Contrib Mineral Petrol (2006) 152:399–419
DOI 10.1007/s00410-006-0115-2

ORIGINAL PAPER

**The stability of primary alluaudites in granitic pegmatites:
an experimental investigation of the $\text{Na}_2(\text{Mn}_{2-2x}\text{Fe}_{1+2x})(\text{PO}_4)_3$
system**

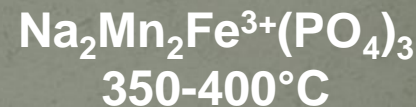
Frédéric Hatert · André-Mathieu Franolet ·
Walter V. Maresch

- Basse T \Rightarrow alluaudite
- Haute T \Rightarrow “Phase X”
- Mn \Rightarrow fillowite $[\text{NaMn}_4(\text{PO}_4)_3]$

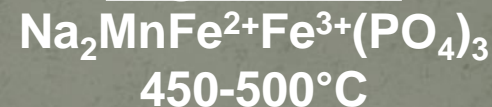
Pas de maricite $[\text{NaFePO}_4]$
dans les pegmatites



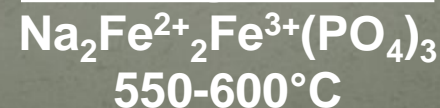
Varulite



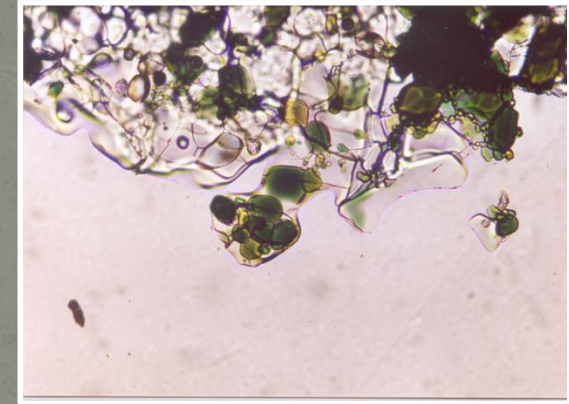
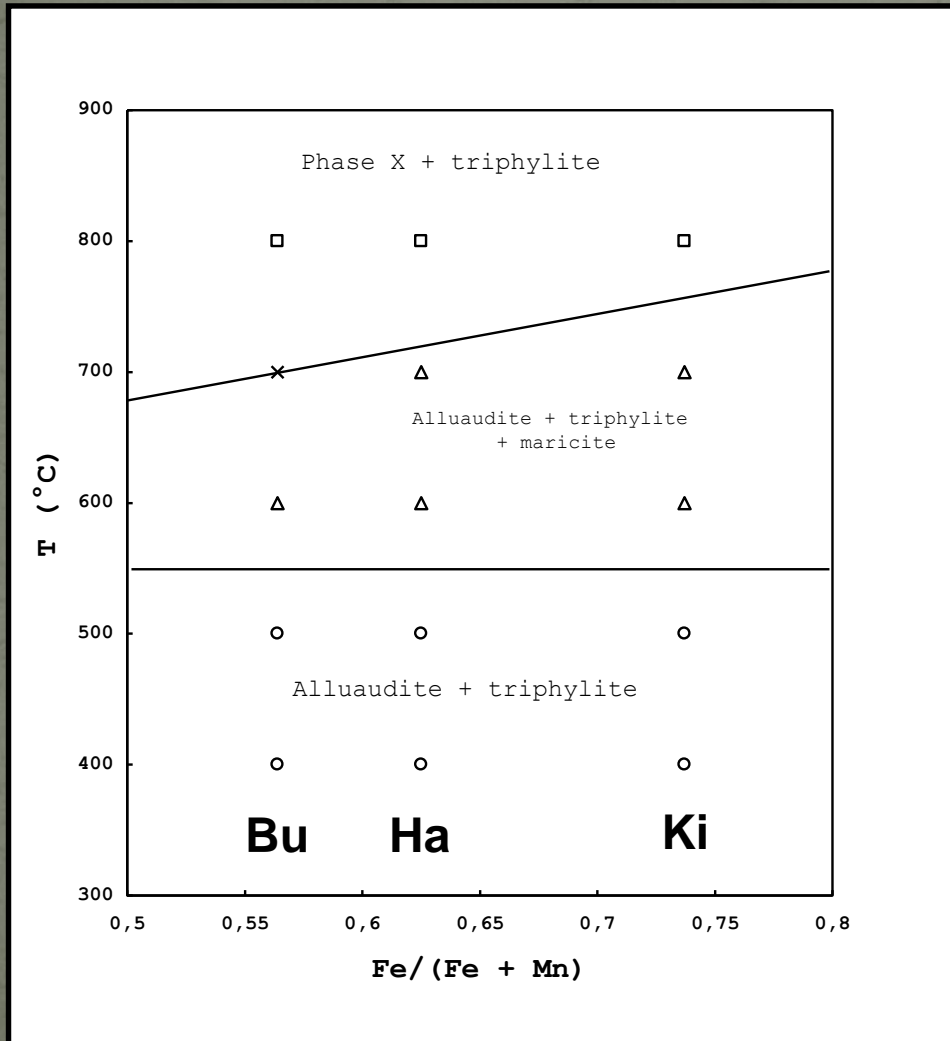
Hagendorfite



Ferrohagendorfite



Stabilité de l'association triphylite + alluaudite



Pas de maricite dans les
pegmatites



L'association alluaudite +
triphylite est stable en-
dessous de 500-600°C

Bu = Buranga, Rwanda
Ha = Hagendorf-Süd, Allemagne
Ki = Kibingo, Rwanda

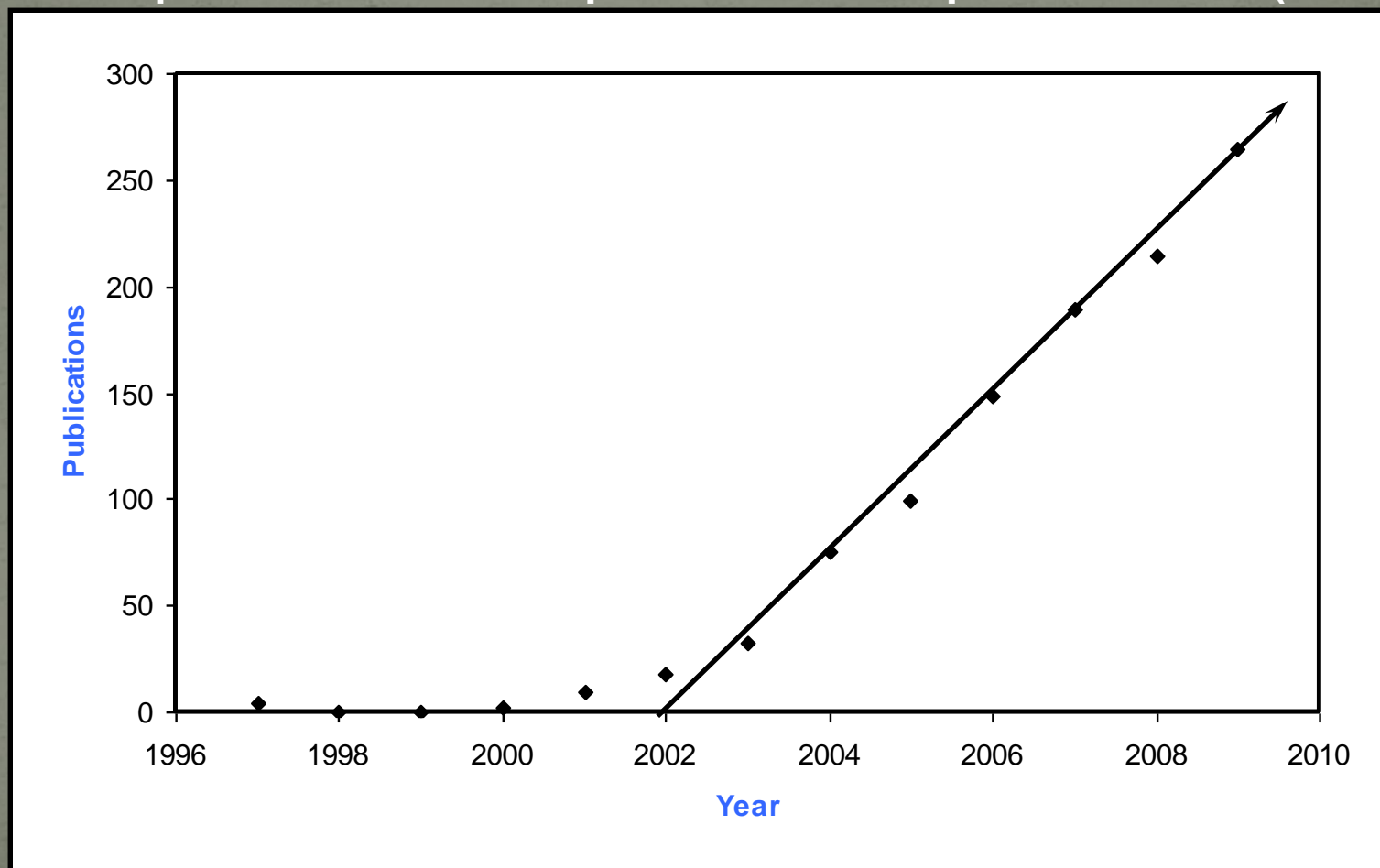
Applications: Batteries au lithium



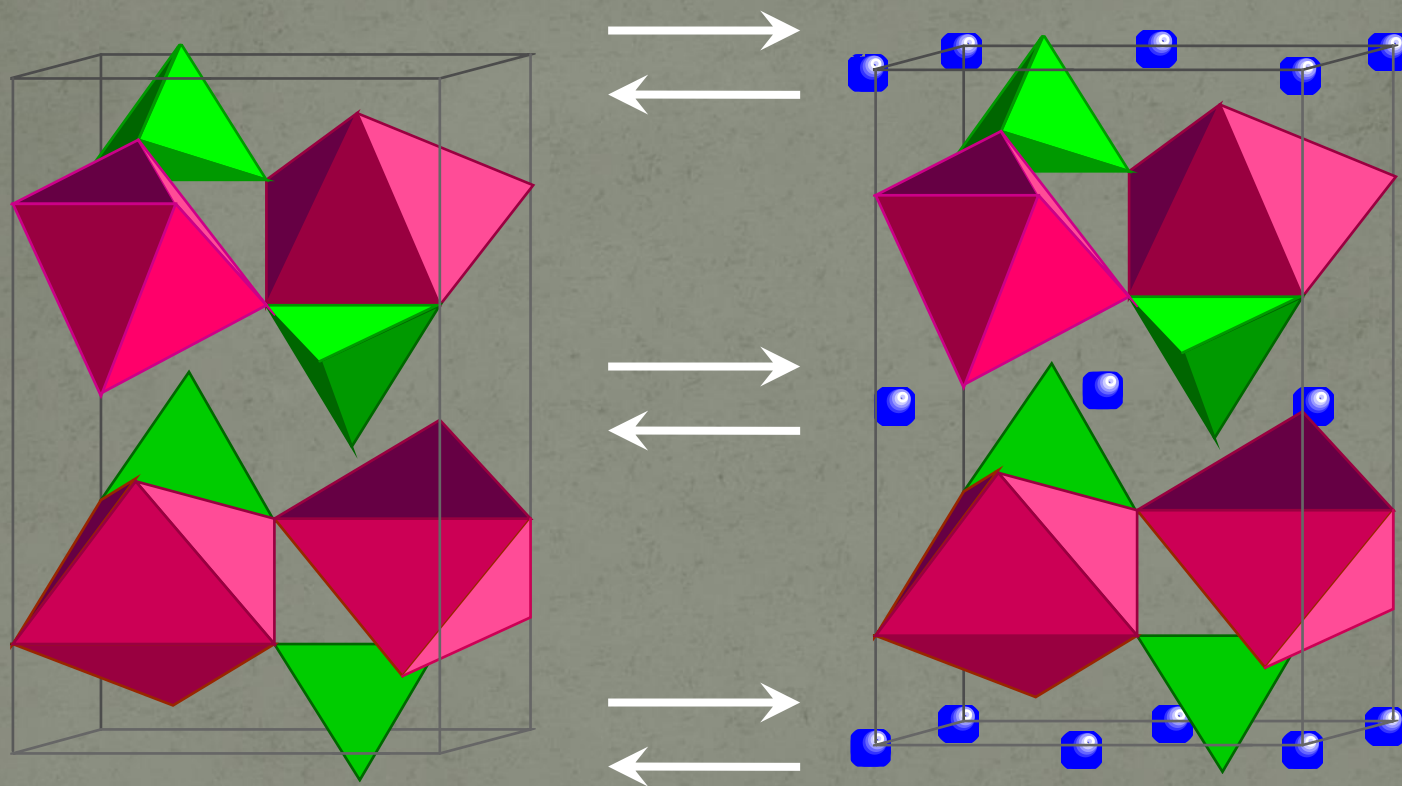
	Layered struct.		Spinel	Triphylite
	LiCoO_2	LiNiCoO_2	LiMn_2O_4	LiFePO_4
Capacity (mAh/g)	140-150	170-180	110-120	160-170
Potentiel (V)	3,9	3,8	4,0	3,4
Resistance to cycling	Poor	Poor	+/-	Good
Exchange speed	Good	Good	Good	Good
Electrode density	Good	+/-	+/-	Poor
Security	+/-	?	Good	Good
Cost of chemicals	High	+/-	Low	Low
Cost of synthesis	Low	High	+/-	Low
Abundance	Low	+/-	High	High
Toxicity	?	?	Low	Very low

LiFe²⁺(PO₄) comme matériau de cathode

Propriétés électrochimiques démontrées par Padhi *et al.* (1997)



Intercalation – extraction de Li

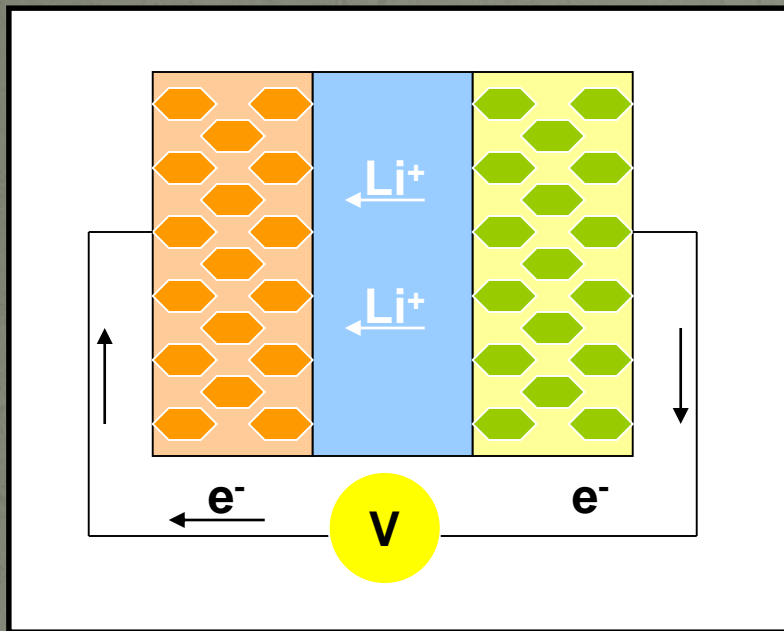


Hétérosite, $\text{Fe}^{3+}(\text{PO}_4)$

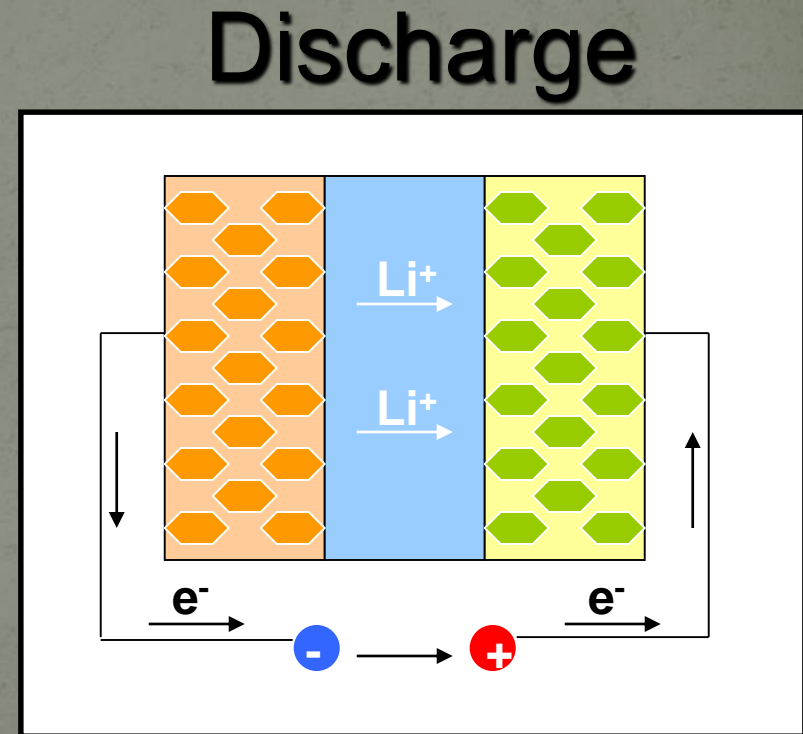
Triphylite, $\text{LiFe}^{2+}(\text{PO}_4)$

Mécanisme d'oxydation naturelle observé par Quensel (1937) et Mason (1941)

Principe des batteries au lithium



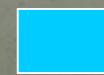
Charge



$\text{LiFe}^{2+}(\text{PO}_4)$



Metallic Li



Electrolyte

Performance

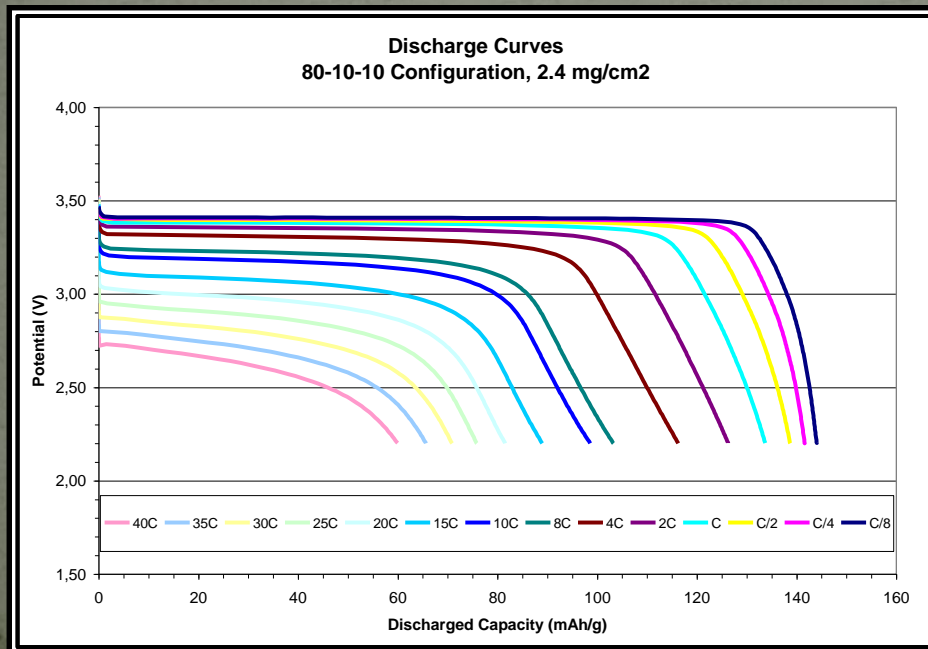


nature

Vol 458 | 12 March 2009 | doi:10.1038/nature07853

LETTERS

Battery materials for ultrafast charging and discharging

Byoungwoo Kang¹ & Gerbrand Ceder¹

The storage of electrical energy at high charge and discharge rate is an important technology in today's society, and can enable hybrid and plug-in hybrid electric vehicles and provide back-up for wind and solar energy. It is typically believed that in electrochemical systems very high power rates can only be achieved with supercapacitors, which trade high power for low energy density as they only store energy by surface adsorption reactions of charged species on an electrode material¹⁻³. Here we show that batteries^{4,5} which obtain high energy density by storing charge in the bulk of a material can also achieve ultrahigh discharge rates, comparable to those of supercapacitors. We realize this in LiFePO₄ (ref. 6), a material with high lithium bulk mobility^{7,8}, by creating a fast ion-conducting surface phase through controlled off-stoichiometry. A rate capability equivalent to full battery discharge in 10–20 s can be achieved.

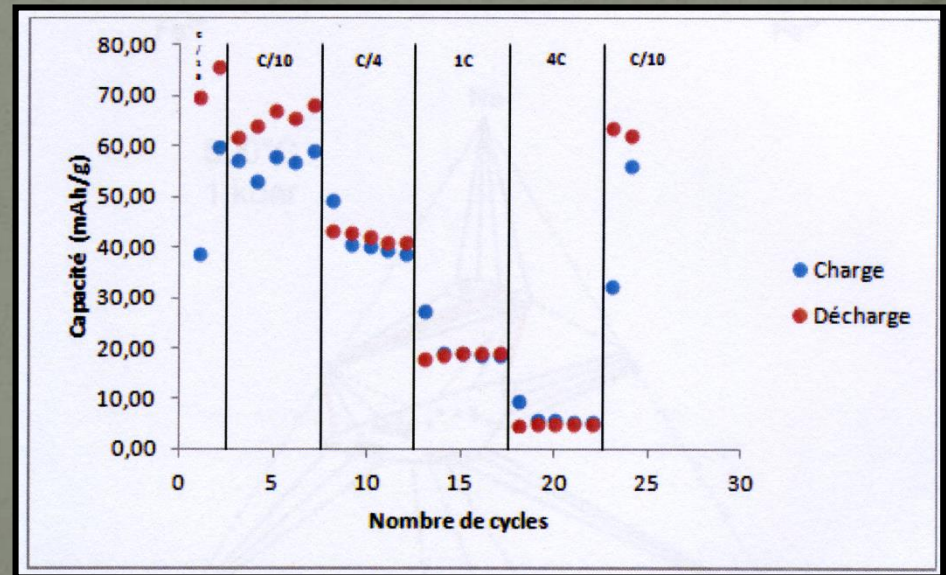
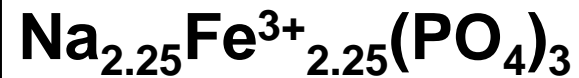
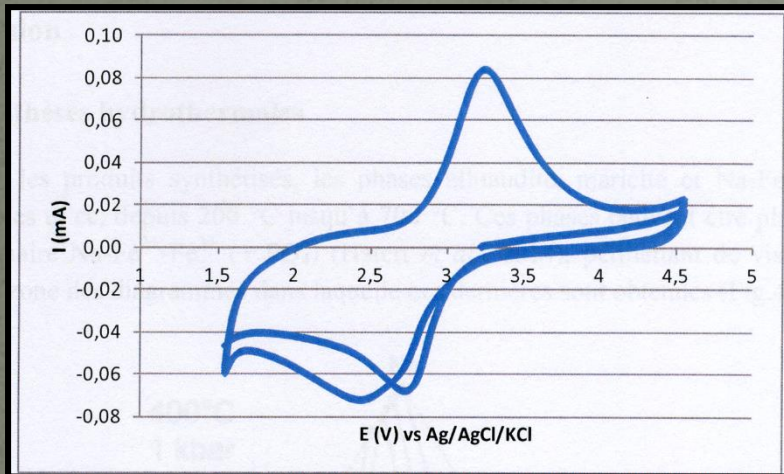
Production de batteries à base de LiFePO₄



- Voitures
- Vélos électriques
- Ordinateurs portables
- Stockage d'énergie



Etude électrochimique d'alluaudites



➔ Résultats très prometteurs!

Conclusion

La Minéralogie des
phosphates n'a pas encore
dit son dernier mot.....



Namibie, 2015